

هيدرولوجيا الأحواض الشرقية لبحيرة دريندخان

أ.م.د هالة محمد عبد الرحمن
جامعة بابل/ كلية التربية للعلوم الإنسانية
entidharm@gmail.com

ملخص البحث:

تعد المياه السطحية انعكاساً للظروف المناخية والطبوغرافية للأحواض في منطقة الدراسة، وتسهم في توقع كميات المياه السيلية للوحوض، ومدى الافادة منها في المجالات المختلفة للاستخدامات البشرية، فضلاً عن تقدير أخطار السيول على الممتلكات البشرية والطبيعية. ونظراً لعدم وجود محطات هيدرولوجية لقياس الجريان السطحي لمياه الأمطار في منطقة الدراسة، فقد استخدم انموذج (Snyder) في تقدير حجم الجريان السطحي (تم الاعتماد على تعديلات ٢٠٠٦ H.M. Raghunath ^¹ لهذه الدراسة). تم تقدير حجم المياه في فترة السيل للجريان السطحي (٦٩.٢ ألف م^³، تم تقدير حجم الجريان الكلي (١٠٥٣.٧ الف/م^²/ث)، أما السيول فقد تم دراسة التدفق القصوى وتتفق الذروة النوعي وقوة وعمق الجريان، وزمن الارتفاع والانخفاض التدريجي للسيول، ورسم منحنى هيدرودرافي لأحواض منطقة الدراسة.

الكلمات المفتاحية : الحوض، الجريان السطحي، منحنى التصريف.

Abstract:

Surface water is a reflection of the climatic and topographical conditions of the basins in the study area. It contributes to the prediction of the torrential water quantities of the basin, the extent of its utilization in the various areas of human use, as well as the assessment of the dangers of torrents on human and natural property. Since there are no hydrological stations to measure surface runoff of rainwater in the study area, the (Snyder) model has been used to estimate the surface runoff size (The ٢٠٠٦ amendments were based on this study H.M. Raghunath ٢٠٠٦). The total runoff volume ($1053.7 \text{ m}^3/\text{s}$) was estimated. The torrents have been studied , maximum flow, Qualitative peak flow, strength and depth of flow, time of rise and gradual reduction of torrents, Hydrograph curve of the study area basins were drowned .

Key word: Basin, Surface runoff, Hydrograph.

المقدمة:

تعد الموارد المائية من العناصر الأساسية في تنمية البيئة وأهم متطلبات الحياة والعامل الأكثر تحديداً للإنتاج الزراعي وأحد الدعامات الأساسية لتحقيق أهداف الأمن الغذائي، فضلاً عن الدور الأساسي للصناعة والنقل وتوليد الطاقة الكهربائية. لقد ازداد اهتمام الباحثين بدراسة المياه والتخطيط الأمثل لاستثمارها من خلال الدراسات الهيدرولوجية وعلاقتها بالمتغيرات البيئية لتحديد كمية المياه القابلة للاستثمار والتعرف على كميات المياه المتجمعة في مجاري الأودية والتي يمكن تقديرها من ناحية والاستفادة منها في النواحي البشرية من ناحية أخرى. وللجبال دور فاعل في منطقة الدراسة في تكون الأنهر، إذ مع هطول الأمطار وذوبان الثلوج تكون مسارات مائية موسمية للجريان السطحي وتتسرب كميات أخرى من المياه إلى باطن الأرض.

هيدرولوجية الأحواض الشرقية لبحيرة دربندخان

أ.م.د هالة محمد عبد الرحمن

م.انتظار مهدي عمران

تقع منطقة الدراسة من الناحية الإدارية ضمن محافظة السليمانية وضمن قضاء حلبا، يحدها من الشمال قضاء سيد صادق ومن الشرق الجمهورية الإسلامية الإيرانية ومن الغرب بحيرة دربندخان ومن الجنوب نهر سيروان. وتحضر فلكياً بين دائري عرض (٣٥.١٩° - ٣٥.٢٥°) شمالاً وقوسي طول (٤٥.٤٨° - ٤٦.١٢°) شرقاً، وبمساحة (٧٦٢,٩ كم²).

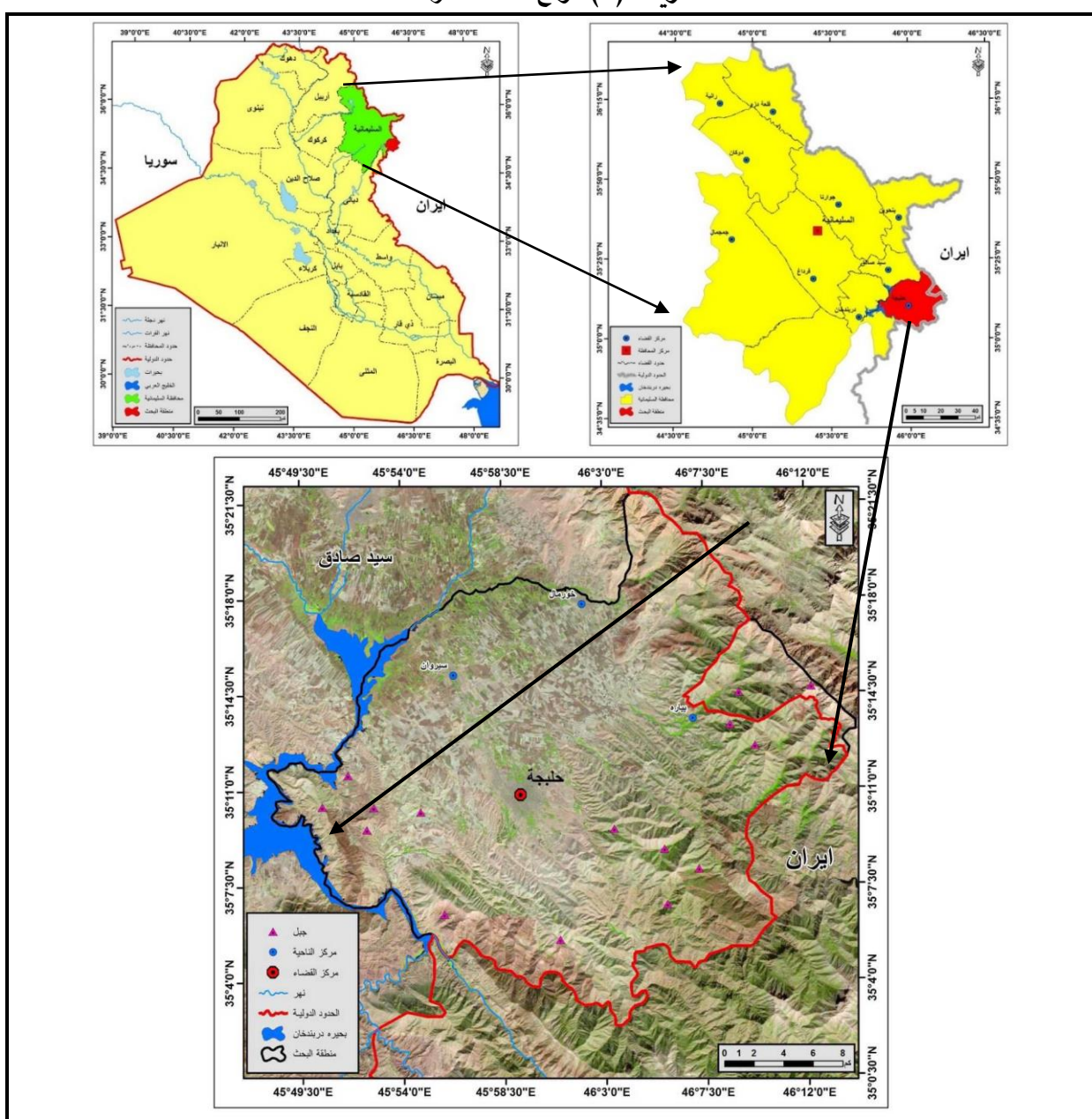
الخريطة (١). يسعى البحث إلى التعرف على حجم الموارد المائية ومدى الاستفادة منها في المشاريع المختلفة.

مشكلة البحث: تدور مشكلة البحث حول:

- ما دور العوامل الطبيعية في الخصائص الهيدرولوجية لأحواض شرق البحيرة؟

- ما حجم الجريان السطحي لتلك الأحواض.

الخريطة (١) موقع منطقة الدراسة



المصدر:

- ١- الهيئة العامة للمساحة، خرائط طبوغرافية لمحافظة السليمانية، مقياس ١:٢٥٠٠٠٠، بغداد، لسنة ١٩٨٦.
- ٢- بالاعتماد على نموذج الارتفاع الرقمي (DEM)، وباستخدام برنامج Arc GIS ١٠.٣.

فرضية البحث:

- للعوامل الطبيعية كالبنية الجيولوجية والتضاريس والمناخ دور بارز في رسم الملامح الهيدرولوجية لتلك الأحواض.
هدف البحث: يسعى البحث إلى إبراز أهم الخصائص الطبيعية لمنطقة الدراسة ومدى تأثيرها في هيدرولوجية المنطقة.
محاور الدراسة: اعتمدت الدراسة على ثلاثة محاور رئيسية وهي:

- ١- المحور الأول: تم الاعتماد على مرئية فضائية من القمر الصناعي الأمريكي (Land sat oil L٨)، وبرنامج Arc gis ١٠.٣. وزارة الصناعة والمعادن، المنشأ العامة لمسح الجيولوجي والتعدين، خارطة العراق البنوية، ١٩٩٦، قياس ١:١٠٠٠٠٠. والمراجع العربية والاجنبية.
- ٢- المحور الثاني: تم تطبيق عدة مؤشرات لقياس حجم السيول في منطقة الدراسة وهي (زمن الترکيز، زمن التباطؤ، الزمن المثالي للهطول، زمن الأساس للسيول، زمن الارتفاع والانخفاض التدريجي للسيول، وذروة التصريف، وذروة التدفق النوعي وسمك وتدفق السيول).
- ٣- المحور الثالث: تحليل النتائج المستخلصة من البحث.

الخصائص الطبيعية لمنطقة الدراسة:

من الناحية التكتونية تتباين منطقة الدراسة ضمن النطاق الاقليمي (منطقة الاندفادات)، وضمن نطاق التعرق الاقليمي الوسطي (حزام كلكلة - خواركورك)، ونطاق بامبو - تانجирه (حزام حلبة-شيروان مازن)، وضمن الرصفيف الغير مستقر ضمن نطاق الطيات العالية (حزام السليمانية-راخو) ٢.

ت تكون منطقة الدراسة من الناحية الجيولوجية من ١٦ تكويناً، يمتد عمرها من عصر الترياسي الأعلى (المتأخر) للزمن الثاني إلى عصر الهولوسين للزمن الرباعي. والذي يضم التكوينات الآتية: الخريطة (٢)، الجدول (١).

١- تكوينات العصر الترياسي: تظهر في المناطق الجنوبية من منطقة الدراسة، تبلغ مساحتها (١٢.٧ كم٢) وبنسبة (١٠.٧٪) من المساحة الكلية، وتكوناته من:

١.١. تكوين (بيدو) وهو عبارة عن طفل ومارل لونه أحمر قهوجي وأرجواني مع بعض الطبقات الرقيقة جداً من الحجر الجيري وطبقات رملية، وهو من بيئة بحرية.

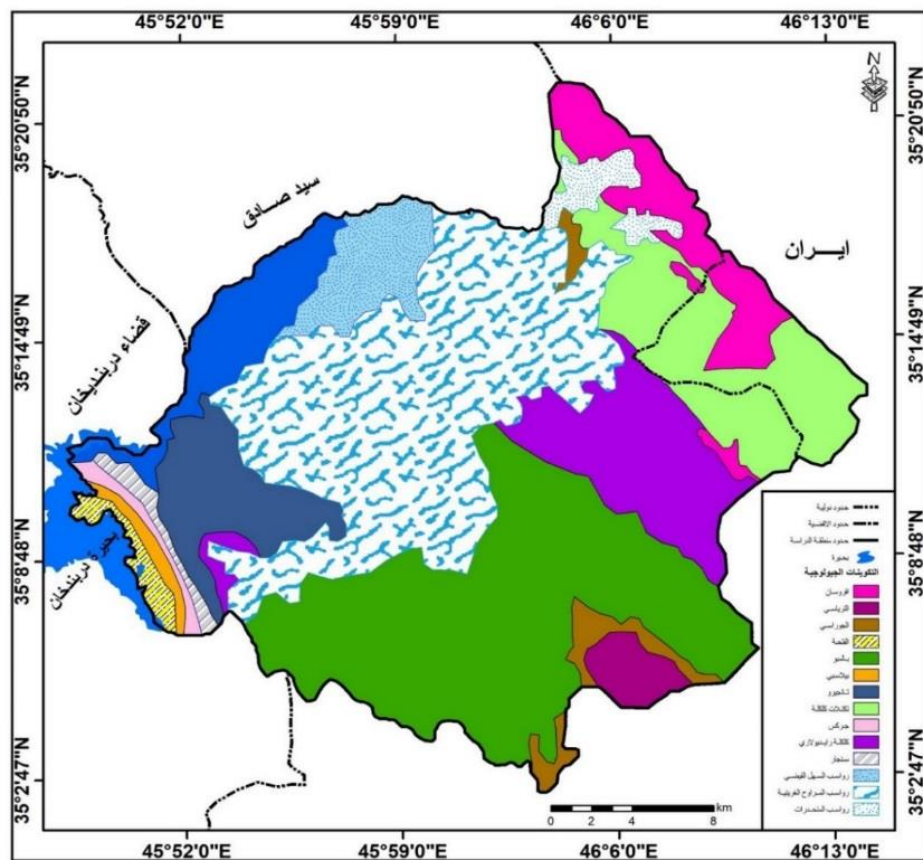
٢.١. تكوين (كلي خانه) وتتألف بدرجة كبيرة من الحجر الجيري الكيميائي. وهو من بيئة شاطئية ٣.

٢- تكوينات العصر الجوراسي: تكويناته:

١.٢. وحدة (افرومأن) يظهر في الحافة الشمالية الشرقية مع امتداد الحدود العراقية- الإيرانية، تبلغ مساحتها (٤٣.٢ كم٢) وبنسبة (٥.٧٪) من المساحة الكلية، ويتألف من حجر الكلس بدرجة كبيرة، من بيئة بحرية.

- ٢.٢. تكوين (ناوكليكان وباريسين) تبلغ مساحتها (15.3 كم^2) وبنسبة (%) من المساحة الكلية، يتالف تكوين ناوكليكان منطبقات متعرجة من الحجر الجيري والدولومايت، ويتألف تكوين باريسين من طبقات رقيقة من الحجر الكلس والدولومايت^٠. وهما ذات بيئه تسربية بحرية.
- ٣- تكوينات العصر الكريتاسي: يظهر فيها:
- ١.٣. تكوين (كلله الراديولاري): يظهر في شرق منطقة الدراسة، تبلغ مساحته (6.6 كم^2) وبنسبة (%) من

الخريطة (٢) التتابع الطبقي لمنطقة الدراسة



المصدر: بالاعتماد على: وزارة الصناعة والمعادن، هيئة المسح الجيولوجي العراقية، قسم الجيولوجيا، شعبة المسح الجيولوجي، تقرير عن لوحة جيولوجية السليمانية، آي أن ٣٨ .٣٠، جي أم ١٠، مقياس ١:٢٥٠٠٠، بغداد، الطبعة الثانية، ٢٠١٤، وبرنامج Arc GIS ١٠.٢.

المساحة الكلية، ويكون من حطام الصخر الكلسي وحجر الكوارتز مدمجة مع الحجر الطيني.^٦

٢.٣. وحدة (كلكة المدلكلات) يظهر شرق منطقة الدراسة، تبلغ مساحتها (780.9 km^2) وبنسبة (١٠.٣٪) من المساحة الكلية، طبقات سميكة عدسية الشكل من المدلكلات المكونة من الحصى والجلاميد الكلسية وبدرجة أقل من الصوان أو كلاماها والتي اشترت من التكوين الراديولي، وتداخل مع سجيل رمادي اللون وطبقات من الحجر الجيري الفتاتي والصوان.^٧

٣.٣. تكوين (البالمبو) تبلغ مساحتها (187.8 km^2) وبنسبة (٢٤.٦٪) من المساحة الكلية، يظهر على امتداد الجنوب ووسط منطقة الدراسة على امتداد طية بالمبو، ويتألف من طبقة رقيقة من الحجر الجيري الصلصالي ذو اللون الفاتح، وهو ذو بيئة ترسيبية بحرية عميقة.^٨

٤. تكوينات الزمن الثلاثي، ويظهر في هذا الزمن التكوينات الآتية:

٤.١. عصر الباليوسين: وتضم:

٤.١.١. تكوين(كولوش) يظهر في غرب منطقة الدراسة، تبلغ مساحتها (42.0 km^2) وبنسبة (٥.٥٪) من المساحة الكلية، ويتألف من الحجر الطيني الاسود والطفل والحجر الغريني وصخور المدلكلات قليلة جداً، وهو ذو بيئة ترسيبية بحرية.^٩

الجدول (١) التابع الطابقي لمنطقة الدراسة

هيدرولوجية الأحواض الشرقية لبحيرة دربندرخان

أ.م.د هالة محمد عبد الرحمن

م.انتظار مهدي عمران

النسبة %	المساحة كم²	التكوين	العصر	الزمن	الحقبة			
٣٠.٨	٢٩٠.٤	رواسب السهل الفيضي Flood plain sediments	المهولوسين	الرابع	الجنة Cenozoic			
٢٧.٧	٢١١.١	رواسب المراوح الغرينية Alluvial fan sediments						
١.٧	١٣٠.١	رواسب ملئ المنخفضات Depress fill sediments						
١.١	٨٠.٣	الفتحة Fatha	المابوسين	النيوجين	الثالث Palaeogene			
٠.٧	٥٠.٢	بيلا سبي Pilla spi	الإيوسين	الباليوجين				
٠.٧	٤٠.٣	جركس Gercus						
٠.٨	٦٠.٤	سنجار Sinjar	الباليوسين					
٥.٥	٤٢٠.٢	كولوش kolosh						
٢٤.٦	١٨٧٠.٨	البالمبو Balambo-Kometen	المتأخر	الكريتاسي Cretaceous	الوسطى Mesozoic			
١٠٠.٣	٧٨٠.٩	كلكلا المدلملكات Qulqula Conglomerate	المتوسط					
٨.٧	٦٦.٦	كلكة الراديولاري Qulaqla Radiolarian	المبكر					
٢	١٥٠.٣	ناوكليكان Naokelekan	المتأخر	الجوراسي Jurassic				
		بارسرين Barsarin						
٥.٧	٤٣٠.٢	افرومأن Avroman	المتوسط					
١.٧	١٢٠.٧	كلي خانة	المتأخر	التریاسی Triassic				

		Geli khana			
		بيدو Beduh			

المصدر: ١- عبد الله السياي وآخرون، جيولوجيا العراق، جامعة الموصل، مطبعة الموصل، ١٩٨٢.

٢- فاروق صنع الله العمري، علي صادق، جيولوجيا شمال العراق، دار الكتب للطباعة والنشر، الموصل، ١٩٧٧.

٣- Saad Z. Jassim, Jeremy C. Goff, Geology of Iraq, Dolin, Prague and Moravian Museum, Brno, ٢٠٠٦.

٤.١.٤. تكوين (سنجار) يظهر على شكل امتداد طولي يوازي شرق بحيرة دربندخان، تبلغ مساحتها (٤.٤ كم٢) وبنسبة (٠٠.٨٪) من المساحة الكلية، يتتألف من تعاقب الحجر الجيري الطيني والحجر الجيري الرملي والحجر الجيري الململك.^٩ وهو ذو بيئه ترسيبية بحرية.

٤.٢. تكوينات عصر الايوسين: وتضم:

٤.١.٢.٤. تكوين (جركس) يظهر بشكل موازي لبحيرة دربندخان ومع امتداد تكوين بيلا سي، تبلغ مساحتها (٥.٣ كم٢) وبنسبة (٠٠.٧٪) من المساحة الكلية، ويكون من الطين والمارل والجبس، يمتاز بلونه الاحمر والبنفسجي الغالب عليه، أما المواد الفتاتية فقد أتت من المناطق المرتفعة نتيجة التعرية، وترسبت نتائج التعرية في الحوض العميق مشكلة هذا التكوين.^{١١}.

٤.٢.٢.٤. تكوين (بيلا سي) يظهر عند الحافة الشرقية لبحيرة دربندخان، تبلغ مساحتها (٢.٥ كم٢) وبنسبة (٠٠.٧٪) من المساحة الكلية، ويتألف من الحجر الجيري ودولومايت وقليل من الطين الجيري والحجر الكلسي الطيني، ويتميز بطباقة جيدة وصلابة عالية وهو ذو لونين رصاصي فاتح وابيض، البيئة الترسيبية للتكون هي مستقوعة نتيجة للظروف البحرية لذا تكون ذات ملوحة عالية.^{١٢}.

٤.٣.٢.٤. عصر المايوسين الذي يضم تكوين (الفتحة) إذ يظهر على امتداد الجزء الشرقي من بحيرة دربندخان بشكل طولي، تبلغ مساحتها (٢.٤ كم٢) وبنسبة (١.١٪) من المساحة الكلية، ويتألف من الرواسب الطينية والحجر الطيني، والمارل والجبس والحجر الرملي مع الحجر الجيري في بعض الاحيان.^{١٣}.

٥- ترببات الزمن الرباعي:

تغطي ترباته الاجزاء الشمالية والوسطى من منطقة الدراسة، وتتألف من عصر الهولوسين الذي يضم:

٥.١. رواسب ملء المنخفضات: وهو من اوسع التكوينات انتشاراً في منطقة الدراسة، تظهر شمال شرق منطقة الدراسة، تبلغ مساحتها (١٣.١ كم٢) وبنسبة (١.٧٪) من المساحة الكلية، وتتألف من رواسب الحصى والرمل ويتراوح سمك هذه الترببات بضعة سنتيمترات.

٥.٢. رواسب المرواح الغرينية: تظهر في مساحة واسعة من شمال ووسط منطقة الدراسة، تبلغ مساحتها (٢١١.١ كم٢) وبنسبة (٢٧.٧٪) من المساحة الكلية، وتتألف من الحصى والرمل والطين ومفتات الصخور، وتظهر فيها أهم المدن الرئيسية (حلبة، سيروان، خورمال).

٥.٣. رواسب السهل الفيسي: إذ تغطي شمال منطقة الدراسة واجزاء متفرقة من شمال شرق وشرق المنطقة، تبلغ مساحتها (٢٩.٤ كم٢) وبنسبة (٣.٨٪) من المساحة الكلية، وتتألف من الرمل والغرفين والطين.^{١٤}.

عناصر المناخ:

يؤثر المناخ بعناصره المختلفة في العمليات الجيومورفولوجية، وما ينبع عنها من تباين في معدلات التجوية والتعرية والراسب، والتي توزعت بدورها في تشكيل أشكال سطح الأرض، وقد تمت دراسة المناخ الحالي بالاعتماد على محطات بيارة، حلبة ودريندخان المتواجدة في منطقة الدراسة. ولغرض معرفة نوع المناخ في منطقة الدراسة استخدمت معادلة (Thornthwaite 1941**) للجاف، إذ سجلت درجة الجفاف لمحطة بيارة (٨٣.٨٣) وتصنف ضمن المناخ الرطب، أما محطتي حلبة ودريندخان فبلغتا (٤٢.٨-٤٩.٢٥) على التوالي، وبذلك فإنهما تقع ضمن المناخ شبه الرطب. وللتعرف على أثر المناخ في منطقة الدراسة لا بد من دراسة عناصره المختلفة هي:

- ١.٤.٠ درجات الحرارة: لمعرفة درجات الحرارة في محطات منطقة الدراسة نجد ما يأتي: الجدول (٢).
- بلغ المعدل السنوي لدرجة الحرارة العظمى للمحطات بيارة، حلبة ودريندخان (٢٠.١٨ - ٢٤.٥٨ - ٢٥.٢ م°) على التوالي، أما المعدل السنوي لدرجة الحرارة الصغرى فبلغ (١٣.٧ - ١٣.١ - ٦.٧٦) للمحطات الثلاث على التوالي.
- ترتفع المعدلات الشهرية لدرجات الحرارة العظمى خلال شهري تموز وآب، إذ بلغت لمحطة بيارة (٣٤.٨-٣٥ م°) على التوالي، ولمحطة حلبة (٤٠.٢ - ٣٩.٣ م°) على التوالي، ولمحطة دريندخان (٣٩.٧ - ٣٩.٣ م°) على التوالي، أما أقل المعدلات الشهرية فبلغت (٤٠.٨ - ١٠ - ٢١ م°) لشهر كانون الثاني وللمحطات على التوالي.
- سجلت المعدلات الشهرية لدرجات الحرارة الصغرى أقل درجة حرارة خلال شهر كانون الثاني (٤.٢ - ٤.٥ - ١٠.٥ م°) للمحطتين بيارة وحلبة، أما محطة دريندخان فسجلت خلال شهر شباط أقل درجة حرارة صغرى بلغت (٣٠.٩ م°)، وأعلى درجة حرارة صغرى سجلت لشهر تموز للمحطات بلغت (٢٦.٣ - ٢٦.٦ - ٤٠.٦) على التوالي. (لم تسجل محطتي حلبة ودريندخان درجات حرارة تحت الصفر بسبب موقعهما فمحطة حلبة تقع في سهل شهرزور، ومحطة دريندخان في منطقة سهلية عكس محطة بيارة التي تقع في المنطقة الجبلية).
- نتيجة للفارق في درجات الحرارة العظمى والصغرى السنوية والشهرية، فقد امتازت المنطقة بمعدلات عالية ولمحطات بيارة، حلبة ودريندخان بلغت (١٢.٥ - ١١.٥ - ١١.٤ م°) على التوالي، إذ سجل شهر أيلول أعلى مدى حراري للمحطة بيارة (١٧.٥ م°)، وشهر تموز لمحطة حلبة (١٥.٣ م°)، وشهر آب لمحطة دريندخان (١٥.٤ م°)، وأقل المعدلات الشهرية سجلت لشهر كانون الأول (٨.٢ - ٨.٨ م°) لمحطتي بيارة وحلبة، وشهر كانون الثاني لمحطة دريندخان (٧.٨ م°).

الجدول (٢) المعدلات الشهرية والمدى الحراري لدرجات الحرارة العظمى والصغرى (م°) لمحطات منطقة الدراسة للمدة (٢٠١٦-٢٠٠١)

محطة دريندخان				محطة حلبة				محطة بيارة				الأشهر
المعدل الشهري	المدى	الصغرى	العظمى	المعدل الشهري	المدى	الصغرى	العظمى	المعدل الشهري	المدى	الصغرى	العظمى	
٨.٣	٧.٨	٤.٤	١٢.٢	٥.٧٥	٨.٥	١.٥	١٠	٠.٣	٩	-٤.٢	٤.٨	كانون الثاني

٨.٥ ٥	٩.٣	٣.٩	١٣.٢	٦.٦	٨.٨	٢.٢	١١	١.٤	٩.٦	-٣.٤	٦.٢	شباط
١١.٣٥	٨.٩	٦.٩	١٥.٨	١٢٠.٥	١٠٠. ٥	٦.٨	١٧.٣	٧.٤	١٠٠. ٢	٢.٣	١٢.٥	آذار
١٦.٧٥	١١.١	١١.٢	٢٢.٣	١٦	١١. ٦	١٠.٢	٢١.٨	١١.٩	١١. ٢	٦.٣	١٧.٥	نيسان
٢٤.٣٥	١٣.٢	١٧.٧	٣١	٢٠.١	١٥	١٢.٦	٢٧.٦	١٧.٩	١٣. ٤	١٠.٢	٢٣.٦	آيار
٢٨.٩٥	١٤.٥	٢١.٧	٣٦.٢	٢٧.٧	١٠	٢٢.٧	٣٢.٧	٢٣.٩	١٥	١٦.٤	٣١.٤	حزيران
٣٢.١٥	١٥.١	٢٤.٦	٣٩.٧	٣٣.٢٥	١٣. ٩	٢٦.٣	٤٠.٢	٢٧.٣	١٥. ٤	١٩.٦	٣٥	تموز
٣١.٤	١٥.٤	٢٣.٧	٣٩.١	٣٢.٦٥	١٣. ٣	٢٦	٣٩.٣	٢٦.٧٥	١٦. ١	١٨.٧	٣٤.٨	آب
٢٧.٧	١٣.٦	٢٠.٩	٣٤.٥	٢٨.٦٥	١٥. ٣	٢١	٣٦.٣	٢٢.٩٥	١٧. ٥	١٤.٢	٣١.٧	أيلول
٢١.٧	١١.٦	١٥.٩	٢٧.٥	٢٢.٦٥	١٤. ٧	١٥.٣	٣٠	١٧.٠٥	١٤. ٩	٩.٦	٢٤.٥	تشرين الأول
١٤.١٥	٩.١	٩.٦	١٨.٧	١٢.٣٥	٧.٩	٨.٤	١٦.٣	٩.٤٥	٩.٥	٤.٧	١٤.٢	تشرين الثاني
٨.٥	٨	٤.٥	١٢.٥	٨.٥	٨	٤.٥	١٢.٥	١.٩	٨.٢	-٢.٢	٦	كانون الأول
١٩.٥	١١.٥	١٣.٧	٢٥.٢	١٨.٨	١١. ٤٦	١٣.١	٢٤.٥٨	١٣.٩	١٢. ٥	٧.٦٨	٢٠.١٨	المعدل السنوي

المصدر: أقليم كردستان، وزارة الزراعة والمجري، مديرية الزراعة العامة لحلبجة، قسم الأنواء الجوية، بيانات غير منشورة، ٢٠١٧.

٢- الرياح: لمعرفة سرعة الرياح في محطات منطقة الدراسة نجد ما يأتي: الجدول (٣).

- بلغ المعدل السنوي لسرعة الرياح لمحطة بيارا (٢٠.٩ م/ث) ولمحطة حلبجة (١٠.٧ م/ث) ولمحطة دربندخان (١٠.٩ م/ث).
- تزداد سرعة الرياح لمحطة بيارا في أشهر الصيف وتبلغ أعلى سرعة لها في شهر حزيران (٣.٦ م/ث)، أما محطتي حلبجة ودربندخان فيقل فيها معدل سرعة الرياح الشهرية، إذ إن أعلى معدل لأي شهر لا يزيد على (٢.٧ م/ث) ولشهر حزيران.
- تصل أدنى سرعة للرياح في أشهر الشتاء والخريف، ولاسيما في شهر كانون الأول (١٠.٩ م/ث) لمحطة بيارا، وتنقل في محطة حلبجة لتصل إلى (١٠.٢ م/ث) في شهر كانون الثاني، ولشهر تشرين الثاني لمحطة دربندخان (١٠.٥ م/ث).
- إن الارتفاع لسرعة الرياح خلال أشهر الصيف بسبب ارتفاع درجات الحرارة وقلة الأمطار مما ساعد على حركة المفتتات الصخرية والترب المفككة، وتتحفظ سرعة الرياح خلال أشهر الشتاء بسبب انخفاض درجات الحرارة وارتفاع

الضغط الجوي في المنطقة ولتشبع التربة بالماء بفعل سقوط الأمطار، مما تقلل عمليات التجوية الميكانيكية، لذلك فإن دور الرياح خلال فصل الشتاء ضئيل ويزداد في فصل الصيف.

الجدول (٣) معدل سرعة الرياح م/ث لمحطات منطقة الدراسة لمدة (٢٠٠١-٢٠١٦)

الأشهر	محطة بيارة	محطة حلبة	محطة دربندخان	ت
كانون الثاني	٢.٥	١.٢	١.٩	١
شباط	٢.٨	١.٣	٢.٤	٢
آذار	٣.١	١.٧	٢.٢	٣
نيسان	٢.٨	١.٩	٢.٢	٤
مايو	٣.٢	١.٨	١.٩	٥
حزيران	٣.٦	٢.٢	٢.٧	٦
تموز	٣.٤	٢.١	١.٨	٧
آب	٣.١	٢	٢.١	٨
أيلول	٣.٤	١.٨	١.٦	٩
تشرين الأول	٢.٩	١.٧	١.٨	١٠
تشرين الثاني	٢.٣	١.٤	١.٥	١١
كانون الأول	١.٩	١.٤	١.٦	١٢
المعدل السنوي	٢.٩	١.٧	١.٩	

المصدر: أقليم كردستان، وزارة الزراعة والمجاري، مديرية الزراعة العامة لحلبة، قسم الأنواء الجوية، بيانات غير منشورة، ٢٠١٧.

-٣ الأمطار:

للتضاريس دور هام في عملية تكون الأمطار، إذ إن اصطدام الهواء بالتضاريس يؤدي إلى رفعها مما يُخفض من درجة حرارتها، ومع رطوبة الهواء يؤدي إلى التكافف ومن ثم هطول الأمطار، لذا فإن الأمطار في المناطق الجبلية أغزر من المناطق المجاورة لها. وتكون السفوح المعاكسة لهبوب الرياح غالباً مناطق ظل المطر، أي ان الأمطار الهاطلة عليها تكون قليلة^{١٦}. وتخضع أمطار العراق لنظام أمطار البحر المتوسط، من حيث موسم سقوط المطر فهي أمطار شتوية^{١٧}. لمعرفة كمية الأمطار لمحطات منطقة الدراسة: الجدول (٤).

- بلغ المجموع السنوي للأمطار لمحطات بيار، حلبة دريندخان (٦٤١.٦-٩٨٩.١ ملم) على التوالي، تستلم محطة بيار كميات أمطار أعلى من بقية المحطات بسبب ارتفاعها.
- أما المعدلات الشهرية للمحطات فهي متذبذبة بين أشهر السنة، إذ يزداد الهطول خلال فصل الشتاء وتقل أو تخفي في فصل الصيف، ويبداً هطول الأمطار بكميات قليلة في شهر أيلول (١٠.٢ ملم) لمحطة بيار، ولشهر نفسه فيما يخص محطة حلبة بلغت (١٠.٣ ملم)، ولشهر تشرين الثاني لمحطة دريندخان (٢٠.٧ ملم)، ثم تزداد تدريجياً حتى تصل الذروة في شهر كانون الثاني إذ بلغت (٢٠١.٣ ملم) لمحطات على التوالي، إن زيادة التساقط المطري خلال شهري كانون الأول والثاني بسبب زيادة نشاط المنخفضات الجوية، وتتناقص المنخفضات الجوية بعد شهر آذار، إذ تبلغ المعدلات في شهر حزيران (٠٠.٥-٠٠.٦٨ ملم) لمحطات على التوالي.

الجدول (٤) مجموع الأمطار الهاطلة (ملم) لمحطات منطقة الدراسة لمدة من (٢٠١٦-٢٠٠١)

مدة دریندخان	محطة حلبة	محطة بيار	الأشهر	ت
٠	١٠.٣	١٠.٢	أيلول	١
٢٠.٧	٣٥.٥	٢٢.٦	تشرين الأول	٢
٦٣.٧	٧٣.٧	١٠٥.٣	تشرين الثاني	٣
٩٠.٢	١٠٢.٣	١٩٣.٢	كانون الأول	٤
٩٥	١١٥	٢٠١.٣	كانون الثاني	٥
٩١.١	١٢١	١٩١.٧	شباط	٦
٨٩.٣	٨٥.٦	١٣٠.٦	آذار	٧
٥٧.٨	٧٨	٨٨.٦	نيسان	٨
٢٦.٢	٢٨.٥	٥٤.١	مايو	٩
١٠.١	٠.٦٨	٠.٥	حزيران	١٠
٠	٠	٠	تموز	١١
٠	٠	٠	آب	١٢
٥٣٥.٠١	٦٤١.٥٨	٩٨٩.١	المجموع	

المصدر: أقليم كردستان، وزارة الزراعة والمجاري، مديرية الزراعة العامة لحلبة، قسم الأنواء الجوية، بيانات غير منشورة، ٢٠١٧.

٤-الرطوبة النسبية:

- تعتمد الرطوبة النسبية على درجة حرارة الهواء ومعدل التبخر، فتزداد باختفاض درجات الحرارة، لأن ذلك يقلل من درجة تشبع الهواء ببخار الماء. لمعرفة معدلات الرطوبة النسبية لمحطات منطقة الدراسة: الجدول (٥).
- تباين المعدل السنوي للرطوبة النسبية لمحطات منطقة الدراسة، إذ سجلت محطة بيار أعلى معدل سنوي بلغ (٤٧.٣ %)، ومحطة دريندخان (٤٤.٢ %) وسجلت محطة حلبة أقل المحطات بلغ (٤٣.٩ %).
- تباينت المعدلات الشهرية لمحطات بتباين أشهر السنة، إذ ترتفع الرطوبة النسبية خلال أشهر فصل الشتاء،

إذ سجلت أعلى نسبة لشهر كانون الثاني بلغت (٦٩.٢-٧٢.٦٪) على التوالي، ونصل الرطوبة خلال أشهر الصيف إذ سجل شهر آب أقل معدل للرطوبة للمحطات (١٨.٥-٢٠.٦-٢٥.٧٪) على التوالي.

- ترتبط الرطوبة النسبية بعلاقة عكسية مع درجات الحرارة، فهي ترتفع خلال فصل الشتاء وتقل في فصل الصيف، لذلك فإن انخفاض الرطوبة وازدياد درجات الحرارة يؤدي إلى جفاف الهواء وتفتت التربة وعدم تماستكها مما يسهل جرفها. وترتبط العلاقة طردية مع الأمطار، فترتفع الرطوبة مع وفرة الهطول خلال أشهر الشتاء.

الجدول (٥) الرطوبة النسبية % لمحطات منطقة الدراسة لمدة من (٢٠٠١-٢٠١٦)

الأشهر	محطة بيارة	محطة حلبة	محطة دربندخان	ت
كانون الثاني	٧٢.٦	٦٩.٢	٦٨	١
شباط	٦٦.٨	٦٤.٦	٦٢	٢
آذار	٥٤.٦	٥٠.٤	٥٩.٣	٣
نيسان	٦٠	٥٣.٢	٥٣.٣	٤
ايار	٥٠	٣٩.٨	٤١.٦	٥
حزيران	٢٨	٢٤.٧	٢٣.٨	٦
تموز	٢٦.٣	٢٢.٥	١٩.٥	٧
آب	٢٥.٧	٢٠.٦	١٨.٥	٨
أيلول	٢٧.٤	٣٦	١٩.٥	٩
تشرين الأول	٣٣.٦	٣٠.٨	٤٠.٥	١٠
تشرين الثاني	٥٢.٦	٤٧.٧	٥٨.٨	١١
كانون الأول	٧٠	٦٧.٣	٦٥.٤	١٢
المعدل السنوي	٤٧.٣	٤٣.٩	٤٤.٢	

المصدر: أقليم كردستان، وزارة الزراعة والمجاري، مديرية الزراعة العامة لحلبجة، قسم الأنواء الجوية، بيانات غير منشورة، ٢٠١٧.

هيدرولوجية أحواض منطقة الدراسة: قسمت منطقة الدراسة إلى ١٦ حوض. خريطة (٣)

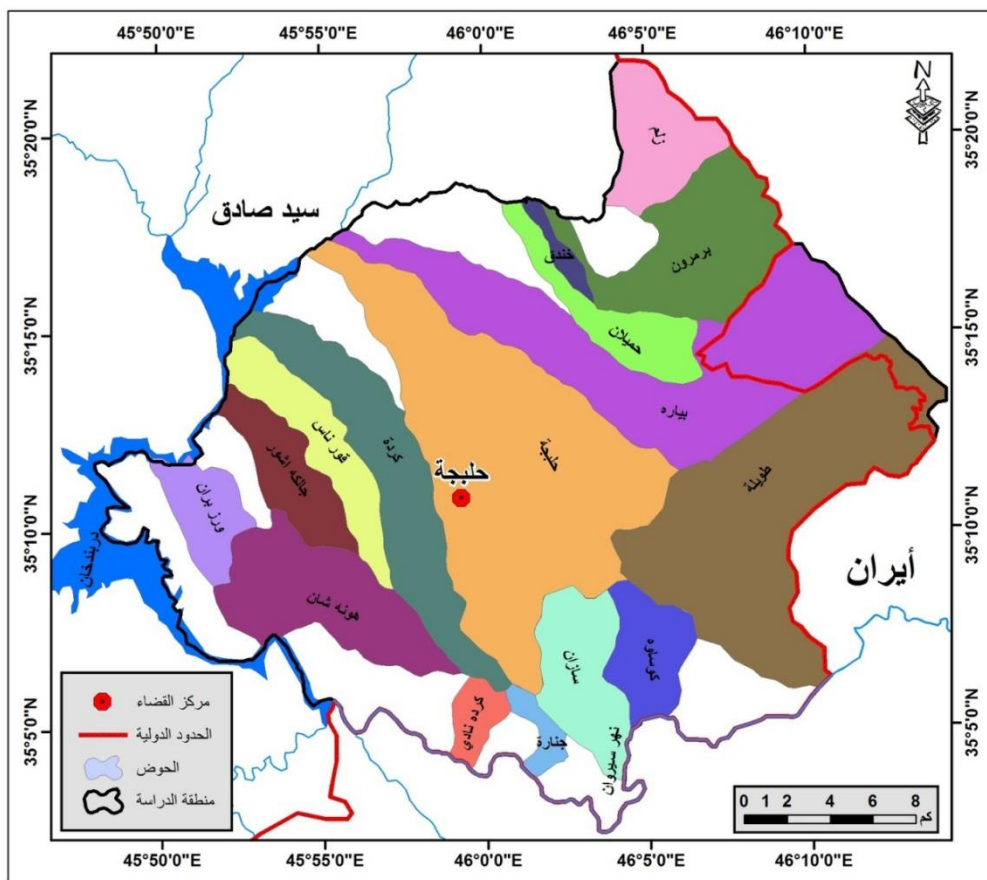
١- العوامل الهيدرولوجية المؤثرة في السيول:

١.١ زمن التركيز: T_C

المدة اللازمة للمياه للانتقال من أبعد نقطة على محيط الحوض إلى مصب الحوض، وتمتاز الأحواض التي تسجل مدة زمنية قصيرة باحتمالية خطورة مرتفعة^{١٨}، يعد زمن التركيز من الناحية الهيدرولوجية أهم عنصر متغير في الحوض المائي، لأن العواصف المطرية التي تقوى ديمومتها زمن التركيز قادرة على تشكيل جريانات مائية سطحية داخل الحوض

الحديثة سيولاً وفيضانات غزيرة قد تصل إلى التدمير، واستخرج زمن التركيز لأحواض منطقة الدراسة بالاعتماد على (Jaton, F.I)، وفق المعادلة الآتية^{١٩}:

الخريطة (٣) أحواض منطقة الدراسة



المصدر: بالاعتماد على نموذج الارتفاع الرقمي DEM وباستخدام برنامج Arc GIS .١٠٠٢

$$Tc = \forall o \frac{\xi(s)^{..o} + (1..o)l}{\forall A(H)^{..o}}$$

T_c = زمن التركيز.

S = مساحة الحوض (كم²).

L = طول المجرى الرئيسي (كم).

H = فارق الارتفاع بين المعدل والارتفاع الادنى للحوض المائي (م).

بلغ المعدل العام لزمن التركيز لأحواض منطقة الدراسة (٦٣.٧٨ ساعة)، الجدول (٦)، إذ بلغ حوض جنارة أقل سرعة بلغت (٣١.٣٧ ساعة) بسبب الانحدار العالى إذ بلغ (٩٦.١٢) وقصر المسافة من المنبع إلى المصب، وأعلى سرعة

في حوض قور ناس بلغت (٤٧٠.٢ مساحة) إذ يجري بمنطقة سهلية ذات انحدار قليل بلغت (٠٦٦)، بسبب التباين بين أقل وأعلى الأحواض في سرعة وصول الجريان المائي إلى المصب.

الجدول (٦) زمن التركيز بالساعة والدقيقة لأحواض منطقة الدراسة

الحوض	المساحة كم²	طول المجرى الرئيسي كم	فرق الارتفاع م	زمن التركيز (ساعة)	زمن التركيز (دقيقة)
زلم	٢٤٠.٥٢	١.٥١	٣٥٤.٥	١.٨٣	١٠٤.٦
برمرون	٤٤.٥٨	١٣.٨	٤٧٣	٣.٤١	٢٠٤.٤
خندق	٤	١.٢٦	٧.٥	٥.٦٤	٣٣٨.٦
حقلان	١٩.٥٥	٩٠٠٤	١١٠.٥	٤.٦٤	٢٧٨.٧
بيارة	٩٣.٣٦	٢٧.٧٥	٦٨٦.٥	٤.٧٩	٢٨٧.٢
حلبة	١٣٣.٥٧	١٠٠٧	٣٦٨	٥	٢٩٩.٧
گردة	٤٨.٧٧	٧.٢١	١٩٩.٥	٤.٢٩	٢٥٧.٢
قور ناس	٢٤٠.٠٤	١.٢٨	٧٨.٥	٧.٢٤	٤٣٤.٥
جالكة آشور	٢٠٠.١٤	٨٠٠٧	٩٨.٥	٣.١٣	١٨٧.٧
ورز برات	١٥.٥١	٤.٥٧	٧٨	٤.٩٣	٢٩٥.٧
هونة شان	٤١.٨١	٢.٣٩	١٣٨	٤.٣٥	٢٦١.١
گردة نادي	٧.٣٣	١.٨	١٧٣.٥	١.٧١	١٠٢.٦
جنارة	٥.٢٩	١.٢	١٨٣	١.٣٧	٨٢.٤٧
سازان	٢٦.٩٥	٥.٨٩	٣٠٧.٥	٢.٦٤	١٥٨.٣
كوساوة	١٨.٦٦	٤.٧٨	٢٥١	٢.٤١	١٤٤.٧
طويلة	١٠٥.٣٢	٩.٢١	٧٣١	٣.١٧	١٩٠.٢
المعدل		٧.٦	٢٦٤.٩	.٣٨٧	٢٢٦.٨

.Arc GIS المصدر: بالاعتماد على نموذج الارتفاع الرقمي DEM ويستخدم برنامج ١٠٠٣

٢٠١. زمن التباطؤ: (T_p)

حساب زمن استجابة الأحواض المائية لهطول الأمطار (بالساعات) للوصول إلى ذروة التصريف (التدفق)، ويمثل الفترة الزمنية الفاصلة بين ذروة هطول الأمطار وذروة التدفق، ويطلق عليه زمن الاستجابة الأولى، ويقاس وفق المعادلة الآتية:

$$T_p \text{ (hr)} = C_t (L_b L_{ca})^{-0.7}$$

إذ تمثل:

T_p = زمن التباطؤ (الساعة).

C_t = معامل زمن تدفق الذرة، خاص بطبيعة الحوض وانحداره وتتراوح قيمته بين (٠.٢ و ٢٠.٢).

L_b = طول المجرى الرئيس (كم).

L_{ca} = المسافة الفاصلة بين مصب الحوض المائي ومركز ثقله (كم).

بلغ المعدل العام لزمن التباطؤ لأحواض منطقة الدراسة (٦.٩ ساعة)، الجدول (٧)، وهو معدل ما تحتاجه الأحواض المائية في المنطقة حتى ينشأ الجريان الفعلي في مجاريها. سجل حوض جنارة أقل زمن تباطؤ يستغرقه السيل من ذروة العاصفة المطرية إلى ذروة التتفق (٠.٨ ساعة)، إذ يمتاز بأقل مركز ثقل (٢٠.١٥) وأقل طول مجرى (١٠.٢٢ كم)، أما أعلى زمن تباطؤ فهو لحوض بياره بلغت (٣١ ساعة)، لارتفاع مركز ثقله (١٨٠.٧٨) وهو أطول مجرى مائي (٢٧.٧٥ كم). يؤثر نوع الصخور في مدى تسرب المياه داخلها وما تحويه من فوائل وشقوق، والتكونيات الجيولوجية للمنطقة ومدى نفاذيتها، إذ تتسرب كمية من المياه داخل التربة

الجدول (٧) العوامل الهيدرولوجية المؤثرة في السيول لأحواض منطقة الدراسة

T_d (hr)	T_m (hr)	T_b (day)	T_p (hr)	الأحواض	ت
٢.١	١٠٥	٣.١	١.٢	زلم	١
٣.١٥	١.٥٧	٤.٧	١٤	برمرون	٢
٢٠.٨	١٠٤	٣.١	١	خندق	٣
٢٦.٨	١.٣٤	٤	٨.١	حيلان	٤

٥	بِيَارَة	٣١	٦.٨	٢.٢٨	٤.٥٦
٦	حَلْبَة	١٣	٤.٦	١.٥٣	٣٠٦
٧	كَرْدَة	٧.٥	٣.٩	١.٣١	٢.٦٢
٨	قُور نَاس	١.٣	٣.٢	١.٠٥	٢.١١
٩	جَالَكَة آشُور	٨	٤	١.٣٤	٢.٦٧
١٠	وَرْز بَرَات	٤.٧	٣.٦	١.١٩	٢.٣٩
١١	هُونَة شَان	٢.٤	٣.٣	١.١	٢.٢
١٢	كَرْدَة نَادِي	١.٧	٣.٢	١.٠٧	٢.١٤
١٣	جَنَارَة	٠.٨	٣.١	١.٠٤	٢.٠٧
١٤	سَازَان	٥.٧	٣.٧	١.٢٤	٢.٤٧
١٥	كُوسَاوَة	٣.٧	٣.٥	١.١٦	٢.٣١
١٦	طَوْيَة	٨.٣	٤	١.٣٤	٢.٦٩
المُعْدَل					٢.٦

المصدر: نتائج تطبيق معادلة زمن التباطؤ.

٣.١. زَمْنُ الْأَسَاسِ لِلسيُول: (T_b)

المدة الزمنية لحدوث السيول للوحوض المائي من المنبع إلى المصب، وتنماذل هذه المدة في تغيراتها مع تغيرات زمن التباطؤ (ساعة)، تم حساب زمن الأساس للسيول (يوم). تم الاعتماد على معادلة الآتية^{٢١}:

$$T_b \text{ (days)} = 3 + \frac{tp \text{ (hr)}}{\lambda}$$

إذ تمثل:

$$T_b \text{ (days)} = \text{زمن الأساس للسيول (يوم)}.$$

$t_p \text{ (hr)}$ = فترة استجابة الحوض المائي لسقوط الأمطار (ساعات)، (زمن التباطؤ).

من خلال تطبيق المعادلة على أحواض منطقة الدراسة بلغ المعدل العام (٣٠.٩ يوم)، وسجل حوضي زلم وجنارة (٣٠ يوم) أقل زمن أساس للسيول، وهو ما يماثل زمن التباطؤ، أما أعلى زمن أساس سجل لوحوض بيارا بلغ (٦٠.٨ يوم)، الجدول (٧)، وقد سجل أعلى زمن تباطؤ، فنلاحظ علاقة طردية بين زمن الأساس للسيول مع زمن التباطؤ.

٤.١. زَمْنُ الارتفاع التدريجي لتدفق السيول: (T_m) (hr)

المدة من الارتفاع التدريجي لمياه الأمطار في قاع المجاري المائية بعد حدوث التشبع السطحي، مع افتراض استمرار التساقط حتى تتدفق السيول من الأودية العليا والوسطى إلى المصب^{٢٢}. تمت من بداية جريان السيول إلى ذروته على الهيدروكراف. يتم حساب هذه المدة عن طريق المعادلة الآتية^{٢٣}:

$$T_m \text{ (hr)} = \frac{1}{\lambda} T_b \text{ (hr)}$$

إذ تمثل:

$$T_m = \text{فترة الارتفاع التدريجي لتدفق السيول (ساعات)} ,$$

T_b = زمن الأساس للسائل (ساعات).

من خلال تطبيق المعادلة على أحواض منطقة الدراسة نجد إن المعدل العام بلغ (٣٠.٣) ساعة، الجدول (٧)، وسجل حوض جنارة وخندق أقل زمن لارتفاع التدريجي لتدفق السيول إذ بلغ (٤٠.٠٠) ساعة، وهو ما يماثل قيم زمن التباطؤ للحوض نفسه، أما أعلى زمن الارتفاع تدريجي للسيول فسجل حوض ببارة بلغ (٢٠.٢٨) ساعة، وقد سجل أعلى زمن تباطؤ للحوض نفسه، إن مدة الارتفاع التدريجي لتدفق السيول في المنطقة قصيرة جداً بسبب على عدمبقاء المياه كثيراً في قيعان والمجاري المائية عند هطول الأمطار إلى بداية جريانها، وهي مدة قصيرة تؤدي إلى خطورة السيول.

٥.١. زمن الانخفاض التدريجي لتدفق السيول (T_d)

المدة التي يستغرقها السيل لرجوع المياه إلى وضعها الطبيعي أي مدة انخفاض منسوب السيل ورجمع الجريان السطحي إلى وضعه الطبيعي، ويقاس وفق المعادلة الآتية^{٢٤}:

$$T_d \text{ (hr)} = \frac{1}{3} T_b \text{ (hr)}$$

إذ تمثل:

T_b (hr) = فترة الانخفاض التدريجي لتدفق السيل (ساعة) محسوبة، هي المدة الممتدة من ذروة التدفق إلى نهاية الهيدروغراف.

T_b (hr) = زمن الأساس للسائل (ساعة).

بلغ معدل زمن الانخفاض التدريجي لتدفق السيول (٦٠.٦) ساعة، الجدول (٧)، سجل حوض جنارة (٢٠.٧) ساعة أقل زمن لانخفاض التدريجي لتدفق السيول، أما أعلى زمن لانخفاض التدريجي للسيول فسجل أيضاً حوض ببارة بلغ (٥٦.٤) ساعة.

ترتبط زيادة مدة الانخفاض التدريجي لتدفق السيل بعلاقة طردية مع كل من قيم معامل التباطؤ (T_b)، وقيم الزمن أي بزيادة قيمة معامل التباطؤ يزداد زمن استجابة الأحواض للوصول إلى الذروة، فيزداد زمن الأساس للسائل (T_b)، وزمن الارتفاع التدريجي للسائل (T_m) وزمن الانخفاض التدريجي للسائل (T_d).

٦.١. سرعة الجريان: (V)

يعد قياس سرعة الجريان السيلي مؤشراً لمعرفة خطورة حوض التصريف أثناء الجريان السطحي، وتعددت طرق قياس سرعة الجريان، مثل كحساب سرعة انتقال المياه من مكان إلى آخر، وحساب المسافة التي تقطعها من خلال قسمة المسافة على الزمن، وتعد هذه الطرق ذات تكاليف عالية جدًّا، لذا يمكن حساب سرعة الجريان من خلال معادلة ($Jaton$) من خلال المعادلة الآتية^{٢٥}:

$$V \text{ (m/s)} = \frac{L \text{ (m)}}{3.6 T_c \text{ (s)}}$$

إذ تمثل:

V (m/s) = سرعة الجريان السطحي (م/ثا)

L (m) = طول المجرى (م)

T_c (s) = زمن التركيز (ثانية).

بتطبيق المعادلة على أحواض منطقة الدراسة نجد إن معدل سرعة الجريان (0.26 m/s)، إذ سجل حوض خندق أقل سرعة للجريان السطحي بلغ (0.08 m/s)، بسبب جريانه في منطقة سهلية، أما حوض طويلة فبلغ أعلى سرعة للجريان السطحي إذ سجل (0.49 m/s)، الجدول (٨).

الجدول (٨) سرعة الجريان (م/ثا) لأحواض منطقة الدراسة

ن	الاحواض	طول المجرى (م)	زمن التركيز (الثانية)	سرعة الجريان (م/ثا)
١	زلم	٦٥٠٠	٦٢٧٥.٩٦	٠.٢٩
٢	برمرون	١٤٣٠٠	١٢٢٦١.٣	٠.٣٢
٣	خندق	٥٥٠٠	٢٠٣١٣.٧	٠.٠٨
٤	حقلان	١٢٤٠٠	١٦٧٧٢٠.١	٠.٢١
٥	بيارة	٢٧٩٠٠	١٧٢٣٣.٧	٠.٤٥
٦	حلبة	٢٢٨٠٠	١٧٩٨٤.٦	٠.٣٥
٧	كردة	٢٠٩٠٠	١٥٤٣١.٧	٠.٣٨
٨	قرن ناس	١٤٣٠٠	٢٦٠٦٩.٤	٠.١٥
٩	جالكة آشور	٩١٠٠	١١٢٦٢.٢	٠.٢٢
١٠	ورز برات	٥٩٠٠	١٧٧٤٣	٠.٠٩
١١	هونة شان	١٣٧٠٠	١٥٦٦٧	٠.٢٤
١٢	كردة نادي	٣٨٠٠	٦١٥٥.٦٧	٠.١٧
١٣	جنارة	٤٧٠٠	٤٩٤٨.١٦	٠.٢٦
١٤	سازان	٩٣٠٠	٩٤٩٥٠.٠٤	٠.٢٧
١٥	كوساوية	٦٦٠٠	٨٦٨٠.٥	٠.٢١
١٦	طويلة	٢٠٣٠٠	١١٤١٤.٦	٠.٤٩
	المعدل	١٢٣٧٥	١٢٦٣٧.٨	٠.٢٦

المصدر: نتائج تطبيق معادلة سرعة الجريان.

٢. الميزانية الهيدرولوجية لأحواض منطقة الدراسة:

١.٢. تركز الأمطار:

١.١.٢. الزمن المثالي لنزولة هطول الأمطار: $T_r(\text{hr})$

تستخدم عندما تكون فترة هطول الأمطار لا تتجاوز زمن التركيز للحوض المائي، لمعرفة الوقت المثالي لسقوط الأمطار التي تتيح الجريان المائي في الأودية الرئيسية بعد الفاقد بالتسرب والتخر، ولمعرفة المدة الزمنية المثالية لسقوط الأمطار في أحواض منطقة الدراسة تم تطبيق المعادلة الآتية:^{٢٧}

$$T_r (\text{hr}) = \frac{\text{tp(hr)}}{0.5}$$

إذ تمثل:

$Tr (hr)$ = المدة الزمنية المثالية لذروة هطول الأمطار (الساعات).

$T_p (hr)$ = زمن استجابة الحوض المائي لهطول الأمطار (الساعات) (زمن التباطؤ).

بلغ معدل الزمن المثالي لذروة هطول الأمطار (٣١.٣ ساعة)، الجدول (٩)، إذ سجل أحواض خندق، قور ناس وجنارة أقل زمن لذروة هطول الأمطار بلغت (٠٠.٢٠ ساعة)، أما أعلى زمن لذروة الهطول فسجل أيضاً حوض ببارة إذ بلغ (٠٥.٦) ساعة.

الجدول (٩) الزمن المثالي لهطول الأمطار وتركز الأمطار لتدفق السيل

i	Tr	الاحواض	t
٤.٧٨	٠.٢	لزم	١
٠.٤	٢.٥	برمرون	٢
٥.٥٨	٠.٢	خندق	٣
٠.٦٨	١.٥	حقيلان	٤
٠.١٨	٥.٦	ببارة	٥
٠.٤٣	٢.٣	حلجة	٦
٠.٧٤	١.٤	كردة	٧
٤.٣١	٠.٢	قور ناس	٨
٠.٦٨	١.٥	جالكة آشور	٩
١.١٨	٠.٨	ورز برات	١٠
٢.٣٢	٠.٤	هونه شان	١١
٣.٢٦	٠.٣	كردة نادي	١٢
٦.٥	٠.٢	جنارة	١٣
٠.٩٧	١	سازان	١٤
١.٤٧	٠.٧	كوساوه	١٥
٠.٦٧	١.٥	طويلة	١٦
٢.١٣	١.٣	المعدل	

المصدر: نتائج تطبيق معادلة الزمن المثالي لذروة هطول الأمطار.

٢.١.٢ تركز الأمطار لتدفق ذروة السيل: i

أدنى كمية أمطار ضرورية لكي يظهر الجريان السطحي في الحوض ويتم تقديره ب(سم/ساعة). وبحسب المعادلة

:^{٢٨} الآتية

$$i \text{ (cm/hr)} = 1 / Tr(\text{hr})$$

إذ تمثل:

$i \text{ (cm/hr)}$ = تركز الأمطار (سم/ساعة)

$Tr(\text{hr})$ = المدة الزمنية المثالية لهطول الأمطار محسوبة (ساعة)

بلغ معدل ترکز الامطار لتدفق السيول (٢٠.١٣ سم/ساعة)، الجدول (٩)، إذ سجل حوض بیارة أقل ترکز هطول الأمطار بلغت (١٨.٠٠ سم/ساعة)، أما أعلى زمن لزورة الهطول فسجل أيضاً حوض جنارة إذ بلغ (٦٠.٥ سم/ساعة).

٤.٢.٢. تقدير حجم المياه لفترة السيول:

٤.٢.٢.١. حجم الجريان:

مقدار كمية المياه التي تمر بشبكات تصريف الأحواض عندما تزيد كمية الامطار الساقطة عن كمية الفاقد عن عملية التسرب، وذلك نظراً لقلة فوائد التبخر أثناء فترة العاصفة المطيرة، وبالتالي يكون هناك فائض من المياه، وتستخدم المعادلة الآتية:

$$Qt (m^3/s) = \Sigma_L (km)^{0.85}$$

إذ تمثل:

$$Qt (m^3/s) = \text{حجم الجريان } (m^3/\text{ث})$$

$$\Sigma_L = \text{مجموع أطوال مجاري الحوض } (Km)$$

يقيس بآلف متر مكعب، وعند تطبيقها على أحواض منطقة الدراسة، إذ بلغ مجموع حجم الجريان الكلي (١٠٥٣.٧ ألف/m³/ث)، وسجل حوض حلبة أكبر كمية جريان بلغت (٢٠.٥ ألف/m³/ث)، بسبب مساحاته الكبيرة مما شكل أكبر مجموع أطوال للمجاري ساعد على زيادة كمية الجريان، وسجل حوض جنارة أقل كمية جريان إذ بلغ (١٠.٦ ألف/m³/ث)، بسبب صغر مساحته وقلة عدد المجاري فيه، الجدول (١٠).

الجدول (١٠) تقدير حجم المياه لفترة السيول لأحواض منطقة الدراسة

qp (m³/s/km³)	Qp (m³/s)	Qt الف / م³/ث	مجموع أطوال المجاري كم	الاحواض	t
٣.٦٩	٩٠.٦	٤٣.٢	٨٣.٩٨	زلم	١
٠.٣١	١٣.٨	٧٩.٧	١٧٢.٧	برمرون	٢
٤.٣١	١٧.٣	١٣.٨	٢١.٩٨	خندق	٣

٤٠٥٢	١٠٠٢	٤٢٠٥	٨٢٠٣٩	حقيلان	٤
٤٠١٤	١٢٠٩	١٥٠	٣٦٢٠١	ببارة	٥
٤٠٣٣	٤٤٠٦	٢٠٥	٥٢٣٠٥٨	حلبة	٦
٤٠٥٧	٢٧٠٨	٨٥٠٨	١٨٨٠٣٢	كردة	٧
٣٠٣٣	٨٠	٤٥٠٣	٨٨٠٨٨	قرن ناس	٨
٤٠٥٣	١٠٠٦	٣٥٠٩	٦٧٠٦٣	جالة آشور	٩
٤٠٩١	١٤٠٢	٣٠٠٢	٥٥٠١٦	ورز برات	١٠
٤١٧٩	٧٥	٧١٠٢	١٥١٠٦	هونه شان	١١
٤٢٥٢	١٨٠٥	١٥٠٧	٢٥٠٥٩	كردة نادي	١٢
٤٠٠٢	٢٦٠٦	١١٠٦	١٧٠٨١	جنارة	١٣
٤٠٧٥	٢٠٠٢	٤٨	٩٥٠١٤	سازان	١٤
٤١٤٤	٢١٠٢	٣٣٠٨	٦٣	كوساوية	١٥
٤٠٥١	٥٤٠١	١٤٢	٣٣٩٠١٧	طويلة	١٦
٤١٦٥	٣٣٠٦	١٠٥٣٠٧	١٤٦٠١٥	مجموع	

المصدر: نتائج تطبيق معادلة حجم الجريان.

٢.٢.٢ التدفق الأقصى للسيول (ذروة التصريف): Q_p

عندما تبلغ مياه الجريان السطحي أقصاها وتبلغ ذروة تدفقها بعد العاصفة المطرية داخل الأودية ينتج عنها السيول^{٣٠}، ويتم حساب القيم عن طريق المعادلة الآتية^{٣١}:

$$Q_p \left(\text{m}^3/\text{s} \right) = \frac{C_p * A}{T_p(\text{hr})}$$

إذ تمثل:

$Q_p \left(\text{m}^3/\text{s} \right)$ = كمية التدفق الأقصى للسيول بالحوض المائي (m^3/s).

A = مساحة الحوض (km^2).

C_p = معامل تدفق الذروة، يرتبط بقابلية الحوض المائي لتخزين المياه، وله علاقة بالنفاذية وتتراوح قيمته بين (٢ - ٦٠٥).
 T_p = مدة استجابة الحوض المائي لهطول الأمطار (ساعة) (زمن التباطؤ).

بلغ معدل التدفق الأقصى للسيول ($330.6 \text{ m}^3/\text{s}$)، إذ سجل حوض حقيلان أقل كمية للتدايق بلغ ($100.2 \text{ m}^3/\text{s}$)، أما أعلى كمية تدفق للسيول فبلغ لحوض زلم ($90.6 \text{ m}^3/\text{s}$)، الجدول (١٠).

٣.٢.٢ تدفق الذروة النوعي للحوض المائي: q_p

كمية التدفق الأقصى للسيول لكل كيلو متر مربع واحد يتم حسابه عن طريق المعادلة الآتية^{٣٢}:

$$q_p \left(\text{m}^3/\text{s}/\text{km}^2 \right) = \frac{Q_p(\text{m}^3/\text{s})}{A (\text{km}^2)}$$

إذ تمثل:

$q_p \left(\text{m}^3/\text{s}/\text{km}^2 \right)$ = قيمة تدفق الذروة النوعي للحوض المائي ($\text{m}^3/\text{s}/\text{km}^2$).

هيدرولوجية الأحواض الشرقية لبحيرة درندنان

أ.م.د هالة محمد عبد الرحمن

م.انتظار مهدي عمران

$$Q_p = \text{قيمة التدفق الأقصى للسيول بالحوض المائي (م}^3/\text{ث}) . \\ A = \text{مساحة الحوض (كم}^2\text{)} .$$

بلغ معدل تدفق النزوة النوعي للأحواض المائية ($1.65 \text{ m}^3/\text{ث/كم}^2$)، إذ سجل حوض بحارة أقل كمية تدفق للنزوة النوعي بلغت ($1.14 \text{ m}^3/\text{ث/كم}^2$)، أما أعلى كمية تدفق للنزوة فبلغ لحوض جنارة ($2.500 \text{ m}^3/\text{ث/كم}^2$)، الجدول (١٠).

٣.٢. الفوائد المائية:

- قيمة التسرب الثابتة: F_p

المعدل الأقصى للمياه بالتغلل داخل التربة، يكون معدل التسرب في الترب الرطبة منخفضاً أكثر خلال العاصفة المطرية، ثم يتناقص في جميع الترب اثناء مدة العاصفة^{٣٣}. إذ إن سرعة الترشح تختلف لعاصفة مطرية معينة مع مرور الزمن، وتسمح سرعة الترشح في بداية تأثير العاصفة بالسرعة الابتدائية وهي السرعة العظمى، إذ تبدأ بعدها بالتناقص مع مرور الزمن حتى تصل إلى قيمة ثابتة بعد مرور مدة زمنية معينة طويلة، وتسمى حينئذ بسرعة الترشح النهائية أو المتعادلة، وتستخرج قيمة التسرب على وفق المعادلة الآتية^٤:

$$F_p = A * T_d * 0.0158$$

إذ تمثل:

F_p = قيمة التسرب الثابتة (م).

A = المساحة كم².

T_d = زمن التصريف (ساعة).

بتطبيق المعادلة على أحواض منطقة الدراسة نجد إن معدل قيمة التسرب الثابتة (1.84 m^3)، الجدول (١١)، إذ سجل حوض خندق أقل قيمة تسرب بلغت (0.12 m^3) بسبب صغر مساحة الحوض، أما حوض بحارة فبلغ أعلى قيمة تسرب إذ سجل (0.72 m^3)، إذ يعد من أكبر أحواض منطقة الدراسة مساحةً لذا تزداد كمية التسرب.

١.٣. هيدروكراف السيول (منحنى التصريف الزمني): Hydrograph

مخطط للتصريف أو جريان مجرى مائي، ويرسم على شكل منحنى يبين العلاقة بين الزمن على المحور الأفقي والجريان على المحور الرأسى، مقدراً ب (م³/ث). وقد تم رسم المنحنى البياني لأحواض منطقة الدراسة من خلال تطبيق المعادلات الآتية:

الجدول (١١) قيمة التسرب الثابتة م³ لأحواض منطقة الدراسة

م ³ F _p	الأحواض	ت	م ³ F _p	الأحواض	ت
٠.٨٥	جالكة آشور	٩	٠.٧٩	زلم	١
٠.٥٩	ورز برات	١٠	٢.٢٢	برمرون	٢

١.٤٥	هونة شان	١١	٠.١٣	خندق	٣
٠.٢٥	كردة نادي	١٢	٠.٨٣	حقيلان	٤
٠.١٧	جنارة	١٣	٦.٧٢	بيارة	٥
١.٠٥	سازان	١٤	٦.٤٦	حلجة	٦
٠.٦٨	كوساوة	١٥	٢.٠٢	كردة	٧
٤.٤٧	طويلة	١٦	٠.٨	قرن ناس	٨
١.٨٤		المعدل			

المصدر: نتائج تطبيق معادلة قيمة التسرب الثابتة.

١٠٢.٣ التدفق الأقصى التدريجي لارتفاع للسيول: $QT_m (m^3/s)$

المدة الزمنية لارتفاع التدريجي للسيول ووصوله إلى الذروة، يستخرج بتطبيق المعادلة الآتية^{٣٥}:

$$Q_{Tm} (m^3/s) = Q_p (m^3/s/km^2) \left[\frac{T}{T_m (hr)} \right]^2$$

إذ يمثل:

$QT_m (m^3/s)$: التدفق الأقصى التدريجي للسيول (دقائق، ساعات).

$Q_p (m^3/s)$: التدفق الأقصى للسيول ($m^3/\text{ث}$).

T : الفاصل الزمني المحدد لتقدير الارتفاع التدريجي للتدفق (دقائق، ساعات).

$T_m (hr)$: فترة الارتفاع التدريجي لتدفق السيل (ساعات).

١٠٢.٤ التدفق الأقصى التدريجي لأنخفاض السيول: $QT_d (m^3/s)$

المدة الزمنية لأنخفاض التدريجي للسيول وعودة الجريان إلى الوضع الطبيعي بتطبيق المعادلة الآتية^{٣٦}:

$$Q_{T_d} (m^3/s) = Q_p (m^3/s/km^2) \left[\frac{T_d (hr) - T}{T_d (hr)} \right]^3$$

إذ يمثل:

$QT_d (m^3/s)$: التدفق الأقصى التدريجي لأنخفاض للسيول (دقائق أو ساعات).

$Q_p (m^3/s)$: التدفق الأقصى للسيل ($m^3/\text{ث}$).

T : الفاصل الزمني المحدد لتقدير الارتفاع التدريجي للتدفق (دقائق، ساعات).

نلاحظ من خلال تطبيق المعادلين السابقتين إن أعلى ذروة تدفق للسيول في حوض حلجة بلغت (١٢)، الجدول (١٢)، بسبب كبر مساحته مقارنة بأحواض منطقة الدراسة فبلغ (١٣٣.٥٧ كم^3)، لذا يstem كميات أعلى من الأمطار خلال العاصفة المطرية، وأقل ذروة تدفق في حوض خندق بلغت (٤٤.٧٩ $\text{م}^3/\text{ث}$) وهو من أصغر الأحواض مساحة في المنطقة بلغ (٤ كم^3).

الاحواض

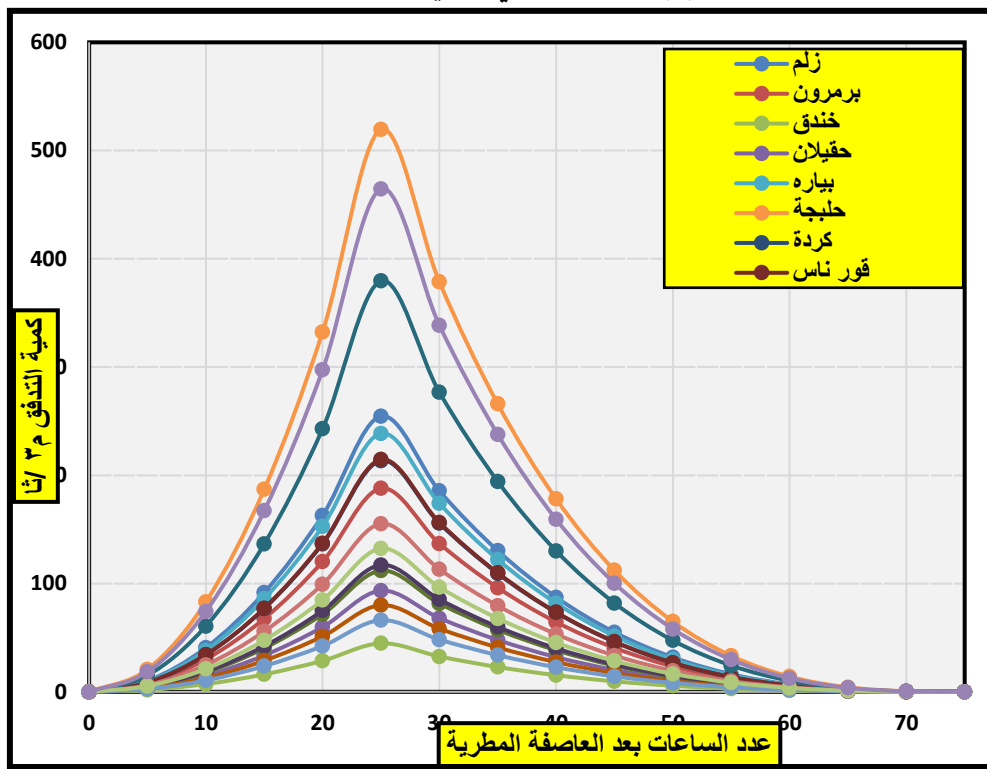
الساعة

الجدول (١٢) معدل كمية للتدفق التدريجي لارتفاع (QT_m) والانخفاض (QT_d)

طويلة	كوساوه	سازان	جنارة	كردة نادي	هونه شان	ورز بران	جالكة أشور	قور ناس	كردة	حلبجة	بياره	حميلان	خندق	برمرون	زلم	
٠	٠	٠	٠	٠	٠	٠	٠	٠	٠	٠	٠	٠	٠	٠	٠	٠
١٨.٥٨	٥.٣٠	٦.٢١	٢.٦٥	٣.٢٠	١٥.١٨	٤.٧٩	٤.٤٨	٨.٥٨	٨.٥٤	٢٠.٧٨	٩.٥٥	٣.٧٤	١.٧٩	٧.٥٢	١٠.١٩	٥
٧٤.٣٣	٢١.١٩	٢٤.٨٤	١٠.٥٩	١٢.٨١	٦٠.٧٤	١٨.٧٥	١٧.٩٢	٣٤.٣٣	٣٤.١٧	٨٣.١٣	٣٨.٢٠	١٤.٩٦	٧.١٧	٣٠.٠٧	٤٠.٧٤	١٠
١٦٧.٢٥	٤٧.٦٨	٥٥.٩٠	٢٣.٨٢	٢٨.٨٢	١٣٦.٦٦	٤٢.١٩	٤٠.٣١	٧٧.٢٥	٧٦.٨٨	١٨٧.٠٤	٨٥.٩٤	٣٣.٦٥	١٦.١٣	٦٧.٦٥	٩١.٦٧	١٥
٢٩٧.٣٤	٨٤.٧٦	٩٩.٣٨	٤٢.٣٥	٥١.٢٤	٢٤٢.٩٤	٧٥.٠٠	٧١.٦٦	١٣٧.٣٣	١٣٦.٦٨	٣٣٢.٥١	١٥٢.٧٩	٥٩.٨٢	٢٨.٦٧	١٢٠.٢٧	١٦٢.٩٦	٢٠
٤٦٤.٥٩	١٣٢.٤٤	١٥٥.٢٨	٦٦.١٧	٨٠.٠٦	٣٧٩.٦٠	١١٧.١٩	١١١.٩٧	٢١٤.٥٨	٢١٣.٥٦	٥١٩.٥٥	٢٣٨.٧٣	٩٣.٤٧	٤٤.٧٩	١٨٧.٩٣	٢٥٤.٦٣	٢٥
٣٣٨.٦٩	٩٧.٥٥	١١٣.٢٠	٤٨.٢٤	٥٨.٣٦	٢٧٦.٧٣	٨٥.٤٣	٨١.٧٣	١٥٦.٤٣	١٥٥.٦٩	٣٧٨.٧٥	١٧٤.٠٣	٦٨.١٤	٣٢.٦٥	١٣٧.٠٠	١٨٥.٧٢	٣٠
٢٣٧.٨٧	٦٧.٨١	٧٩.٥٠	٣٣.٨٨	٤٠.٩٩	١٩٤.٣٥	٦٠.٠٠	٥٧.٣٣	١٠٩.٨٧	١٠٩.٣٤	٢٦٦.٠١	١٢٢.٢٣	٤٧.٨٦	٢٢.٩٣	٩٦.٢٢	١٣٠.٣٧	٣٥
١٥٩.٣٦	٤٥.٤٣	٥٣.٢٦	٢٢.٧٠	٢٧.٤٦	١٣٠.٢٠	٤٠.٢٠	٣٨.٤١	٧٣.٦٠	٧٣.٢٥	١٧٨.٢١	٨١.٨٨	٣٢.٠٦	١٥.٣٦	٦٤.٤٦	٨٧.٣٤	٤٠
١٠٠.٣٥	٢٨.٦١	٣٣.٥٤	١٤.٢٩	١٧.٢٩	٨١.٩٩	٢٥.٣١	٢٤.١٩	٤٦.٣٥	٤٦.١٣	١١٢.٢٢	٥١.٥٧	٢٠.١٩	٩.٦٨	٤٠.٥٩	٥٥.٠٠	٤٥
٥٨.٠٧	١٦.٥٦	١٩.٤١	٨.٢٧	١٠.٠١	٤٧.٤٥	١٤.٦٥	١٤.٠٠	٢٦.٨٢	٢٦.٧٠	٦٤.٩٤	٢٩.٨٤	١١.٦٨	٥.٦٠	٢٣.٤٩	٣١.٨٣	٥٠
٢٩.٧٣	٨.٤٨	٩.٩٤	٤.٢٣	٥.١٢	٢٤.٢٩	٧.٥٠	٧.١٧	١٣.٧٣	١٣.٦٧	٣٣.٢٥	١٥.٢٨	٥.٩٨	٢.٨٧	١٢.٠٣	١٦.٣٠	٥٥
١٢.٥٤٤	٣.٥٧٦	٤.١٩٢	١.٧٨٧	٢.١٦٢	١٠.٢٤٩	٣.١٦٤	٣.٠٢٣	٥.٧٩٤	٥.٧٦٦	١٤.٠٢٨	٦.٤٤٦	٢.٥٢٤	١.٢٠٩	٥.٠٧٤	٦.٨٧٥	٦٠
٣.٧١٧	١.٠٦٠	١.٢٤٢	٠.٥٢٩	٠.٦٤٠	٣.٠٣٧	٠.٩٣٨	٠.٨٩٦	١.٧١٧	١.٧٠٩	٤.١٥٦	١.٩١٠	٠.٧٤٨	٠.٣٥٨	١.٥٠٣	٢.٠٣٧	٦٥
٠.٤٦٥	٠.١٣٢	٠.١٥٥	٠.٠٦٦	٠.٠٨٠	٠.٣٨٠	٠.١١٧	٠.١١٢	٠.٢١٥	٠.٢١٤	٠.٥٢٠	٠.٢٣٩	٠.٠٩٣	٠.٠٤٥	٠.١٨٨	٠.٢٥٥	٧٠
٠.٠٠٠	٠.٠٠٠	٠.٠٠٠	٠.٠٠٠	٠.٠٠٠	٠.٠٠٠	٠.٠٠٠	٠.٠٠٠	٠.٠٠٠	٠.٠٠٠	٠.٠٠٠	٠.٠٠٠	٠.٠٠٠	٠.٠٠٠	٠.٠٠٠	٠.٠٠٠	٧٥

المصدر: نتائج تطبيق معادلة التدفق التدريجي لارتفاع (QTd) والانخفاض (QTm).

الشكل (١) المنحنى البياني لأحواض منطقة الدراسة



المصدر: بالاعتماد على الجدول (١٢).

٣.٢.٣. حجم تدفق السيول: A_L

يتم حساب تدفق السيول من خلال المعادلة الآتية^{٣٧}:

$$A_L (\text{Hm}^3) (10^{-1} \text{m}^3) = Q_P (\text{m}^3/\text{s}) [T_m (\text{s})]^{10^{-1}}$$

إذ تمثل:

$(10^{-1} \text{m}^3) = A_L (\text{Hm}^3)$ = حجم التدفق للسيول على مستوى الحوض المائي (مليون م³)

$Q_P (\text{m}^3/\text{s})$ = التدفق الأقصى للسيول (م³/ثا)

$T_m (\text{s})^{10^{-1}}$ = الارتفاع التدريجي لتدفق السيول (ثانية)

بتطبيق المعادلة على أحواض منطقة الدراسة نجد إن معدل حجم تدفق السيول (١٥٠ مليون م³/ثا)، إذ سجل حوضي حقيلان وجالكة آشور أقل حجم تدفق للسيول بلغ (٥٠٠ مليون م³/ثا) بسبب صغر مساحة الحوض، أما حوض زلم فبلغ أعلى حجم تدفق للسيول إذ سجل (٣٤٠ مليون م³/ثا)، الجدول (١٣).

٤.٢.٣. سmek أو عمق الجريان السطحي لنزوة تدفق السيول: E

يتم حساب سmek أو عمق الجريان السطحي المناسب لنزوة تدفق السيول وفق المعادلة الآتية^{٣٨}:

$$E(\text{mm}) = Q_P \max(\text{m}^3/\text{s}) [T_m (\text{s})]^{10^{-2}} (Km^2)^{-1}$$

إذ تمثل:

$E(\text{mm})$ = عمق (سمك) الجريان السطحي (ملم).

$(s^{-1}) (Km^2)$ = مساحة الحوض (كم²).

بتطبيق المعادلة على أحواض منطقة الدراسة نجد إن معدل سمك أو عمق السيل (٧٢٩ ملم)، إذ بلغ حوض خندق أقل عمق للسيل بلغ (٢٥.٩ ملم)، أما حوض حلبة فبلغ أعلى عمق للسيل إذ بلغ (٣٢٨١ ملم). الجدول (١٣).

الجدول (١٣) حجم التدفق وعمق الجريان السطحي وقوة السيول لأحواض منطقة الدراسة

a (م٣/ث/كم٣)	E السطحي (ملم)	AL (مليون م٣/ث)	الاحواض	ت
١٨.٣	٨٣٨	٠.٣٤	زلم	١
٢٠.٦	٣٤٨	٠.٠٨	برمرون	٢
٨.٦٣	٢٥.٩	٠.٠٦	خندق	٣
٢.٣٢	٩٦.٤	٠.٠٥	حقيان	٤
١.٣٤	٩٩٠	٠.١١	بيرة	٥
٣.٨٦	٣٢٨١	٠.٢٥	حلبة	٦
٣.٩٨	٦٣٩	٠.١٣	كردة	٧
١٦.٣	٧٢٩	٠.٣	قرن ناس	٨
٢.٣٧	١٠٣	٠.٠٥	جالكة آشور	٩
٣.٥٩	٩٤.٤	٠.٠٦	ورز برات	١٠
١١.٦	١٢٤٠	٠.٣	هونه شان	١١
٦.٨١	٥٢.١	٠.٠٧	كردة نادي	١٢
١١.٦	٥٢.٤	٠.١	جنارة	١٣
٣.٨٨	٢٤٢	٠.٠٩	سازان	١٤
٤.٩١	١٦٥	٠.٠٩	كوساوة	١٥
٥.٢٨	٢٧٦٠	٠.٢٦	طويلة	١٦
٦.٦٧	٧٢٩	٠.١٥	معدل	

المصدر: نتائج تطبيق معادلة حجم تدفق السيول، معادلة عمق الجريان السطحي لذروة تدفق السيول، معادلة قوة السيول.

٥.٢.٣. قوة السيول: (a)

يختلف في قيمة التدفق الذروة النوعي للحوض من خلال معرفة كمية التدفق الأقصى للسيول وتقسيمه على جذر مساحة مقدار كيلو متر مربع واحد، ويتم حسابه عن طريق المعادلة الآتية:

$$a \left(m^3/s/km^2 \right) = \frac{Qp(m^3/s)}{\sqrt{A(km^2)}}$$

إذ تمثل:

Qp = كمية التدفق الأقصى للسيول (m^3/s).

A = مساحة الحوض (km^2).

بتطبيق المعادلة على أحواض منطقة الدراسة نجد إن معدل قوة السيل ($6.67 \text{ م}^3/\text{ثا}/\text{كم}^3$)، إذ سجل حوض بحارة أقل قوة سيل بلغت ($4.34 \text{ م}^3/\text{ثا}/\text{كم}^3$) بسبب قلة التعرض والانحدار إذ يجري في منطقة سهلية، أما حوض زلم فبلغ أعلى قوة سيل إذ سجل ($18.3 \text{ م}^3/\text{ثا}/\text{كم}^3$)، الجدول (٣) إذ يجري في منطقة ذات انحدار عالي.

الاستنتاجات:

- أثرت العوامل الطبيعية كالبنية جيولوجية على نوعية الصخور في منطقة الدراسة وبالتالي على كمية الجريان السطحي.

- عند تطبيق معادلة ثورنتون على محطات منطقة الدراسة تبين إن محطة بحارة تقع ضمن المناخ الرطب، ومحطتي حلبة ودربندخان ضمن المناخ شبه الرطب.

- أظهرت الدراسة الهيدرولوجية للأحواض المدروسة إن مجموع حجم الجريان السطحي الكلي ($1053.7 \text{ ألف}/\text{م}^3/\text{ثا}$)، ساهمت أحواض حلبة وبحارة وطويلة بالكمية الأكبر ($497 \text{ ألف}/\text{م}^3/\text{ثا}$)، وبمعدل سرعة جريان ($0.27 \text{ م}/\text{s}$) مع تباين بين الأحواض، ومع معدل قيمة تسرب ($35.8 \text{ م}^3/\text{للحوض الواحد}$).

الوصيات:

- إنشاء محطات لقياس تصارييف الجريان السطحي في الأحواض المدروسة، فضلاً عن إقامة محطات مناخية للأهمية ذلك في الدراسات الهيدرولوجية.

- الافادة من مياه الجريان السطحي خلال اوقات التساقط المطري من خلال إقامة سدود مائية صغيرة على الوديان الرئيسية والتي تسهم في تطوير وتنمية الأحواض المائية.

- الافادة من قاعدة البيانات الهيدرولوجية الناتجة عن هذه الدراسة وتوظيفها في مجالات متعددة.

الهوامش:

*قدم ١٩٣٨ Snyder طريقة التجريبية لأشتقاء وحدة الهيدروكراف من خلال تحليله لهيدروكراف عدد من أحواض التصريف ضمن منطقة جبال الإبلاش في الولايات المتحدة والتي لا يوجد لها سجلات جريان، واختار عاملين هما (تدفق الذروة وزمن تدفق الذروة) وهما اختصاراً (cpct).

١ H.M. Raghunath, Hydrology, Principles, Analysis and Design, John Wiley, New York, ٢٠٠٧.

٢ وزارة الصناعة والمعادن، المنشآت العامة للمسح الجيولوجي والتدين، خارطة العراق البنوية، ١٩٩٦، قياس .١:١٠٠٠٠٠.

٣ حكم عبد الجبار مصطفى صوالحة، الجيولوجيا العامة، الطبعة الاولى، دار الميسرة للنشر، عمان، ٢٠٠٥ ص ٢٣٥.

٤ - خلون عباس معله، تحديث: فاروجان خاجيك سيساكيان، صفاء الدين فخرى فؤاد، تقرير عن جيولوجية لوحه السليمانية، هيئة المسح الجيولوجي العراقية، قسم الجيولوجيا، شعبة المسح الجيولوجي، لوحه آي أن ٣٨ .٣، جي أم ١٠، مقياس ١:٢٥٠٠٠، بغداد، الطبعة الثانية، ٢٠١٤.

٥ - خلون عباس معله، تحديث: فاروجان خاجيك سيساكيان، صفاء الدين فخرى فؤاد، تقرير عن جيولوجية لوحه السليمانية، مصدر سابق.

- ٦-المصدر نفسه.
- ٧-عبد الله سباب، وأخرون، جيولوجيا العراق، جامعة الموصل، مطبعة الموصل، ١٩٨٢، ص ٩٩.
- ٨-المصدر نفس، ص ١١٣.
- ٩-عمار رمضان علي الخطابي، التحليل السحيقي وبيئة ترسيب تكوين سنجار في طية دربند باسرا، منطقة السليمانية شمال العراق، مجلة تكريت للعلوم الصرفية، العدد ١٧، ٢٠١٢، ص ١٧٤.
- ١٠-خلدون عباس معله، تحديث: فاروجان خاجيك سيساكيان، صفاء الدين فخرى فؤاد، تقرير عن جيولوجية لوحة السليمانية، مصدر سابق.
- ١١-فاروق صنع الله العمري، علي صادق، جيولوجية شمال العراق، جامعة الموصل، ١٩٧٧، ص ١٢٤.
- ١٢-ظاهر خليل علي، دراسة الخصائص الفيزيائية والجيوتكتونية لبعض وحدات صخور تكاوين البلاسيبي والفتحة وانجانة في منطقة شقلاء/ شمال العراق، رسالة ماجستير (غير منشورة)، كلية العلوم، جامعة بغداد، ٢٠٠٦، ص ١٣.
- ١٣-فرايس مظفر عبد الحسين، دراسة هيدروجيولوجية لحوض مخمور، رسالة ماجستير (غير منشورة)، كلية العلوم، جامعة بغداد، ٢٠٠٢، ص ٧.
- ٤-خلدون عباس معله، تحديث: فاروجان خاجيك سيساكيان، صفاء الدين فخرى فؤاد، تقرير عن جيولوجية لوحة السليمانية، مصدر سابق.
- $$r = \frac{t}{t+12.2}^{9/10}$$
- ٥= التساقط لمجموع اشهر السنة ملم
- $t = \text{معدل درجة الحرارة السنوي } ^\circ\text{M}$
- ١٥ -Thornthwaite, C.W., Climate of North America a carding to a new classification, the geographical review, Vol.٢١، ١٩٣١، P. ٦٣٩.
- ٦-قصي عبد المجيد السامرائي، المناخ والأقاليم المناخية، دار اليازوري العلمية للنشر والتوزيع، الطبعة الأولى، عمان، ٢٠٠٨، ص ٦٤.
- ٧-قصي عبد المجيد السامرائي، مناخ العراق الماضي والحاضر، مجلة الآداب، العدد ٥٠، ٢٠٠٠، ص ١٢٨.
- ٨-محمد بن فضيل بورية، دراسة هيدرومorfومترية لتقدير حجم السيول في حوض عنود بالمملكة السعودية مركز دراسات الخليج. الجزيرة العربية، قسم الجغرافية، جامعة الكويت، ٢٠٠٧، ص ٥٥.
- ٩-السيد محمد عبد الرحيم الدالي، السهل الساحلي للبحر الأحمر من الحدود المصرية السودانية شمالاً حتى رأس أبو شجرة جنوباً (دراسة في البيومورفولوجيا التطبيقية)، اطروحة دكتوراه، جامعة القاهرة، مصر، ٢٠١٢، ص ٢٧٣.
- ١٠ -H.M. Raghunath, P ١٥٠.
- ١١-محمد سعيد البارودي، وأخرون، استخدام نظم المعلومات الجغرافية في تقدير أحجام السيول ومدى خطورتها عند المجرى الأدنى لواي نعمان جنوب مدينة مكة المكرمة من خلال تطبيق نموذج سنایدر واعتماد نموذج الارتفاعات الرقمية ASTER، المؤتمر الجغرافي الدولي (الجغرافيا والتغيرات العالمية المعاصرة)، كلية الآداب والعلوم الإنسانية، جامعة طيبة، مكة المكرمة، ٢٠١٢، ص ٧٩٠.
- ١٢-H.M. Raghunath, Hydrology, P ١٦٤.
- ١٣-محمد سعيد البارودي، تقدير أحجام السيول ومخاطرها عند المجرى الأدنى لواي نعمان جنوب شرق مدينة مكة المكرمة باستخدام نظم المعلومات الجغرافية، الجمعية الجغرافية المصرية، العدد ٤٨، ٢٠١٢، ص ٥٨.

- ٤- محمد سعيد البارودي، مصدر سابق، ص ٦٠.
- ٥- علي محمد الفيتوري، الخصائص المورفومترية والهيدرولوجية لحوض وادي القطارة -دراسة مقارنة ما بين استخدام الطرق التقليدية وبرمجيات نظم المعلومات الجغرافية، المجلة الليبية العالمية، العدد ٣، ٢٠١٥، ص ١٣.
- ٦-Jaton J.F. Hydrologic Resurface (١^{ere} parties) Emolument surface ET Debits cruse. Ecolab Polytechnique, Instate de Genie, ١٩٨٠، P٤١
- ٧-H.M. Raghunath, Hydrology, P.١٥٠.
- ٨- عبد الرحمن عبد الرحمن وجاك ماردينبي، علم حركة المياه الهيدرولوجيا، منشورات جامعة حلب، كلية الهندسة المدنية، مديرية الكتب والمطبوعات الجامعية ٢٠٠٣ ، ص ١٥١.
- ٩- السيد محمد عبد الرحيم الدالي، مصدر سابق، ص ٢٨٩.
- ١٠- عبد الحفيظ محمد سعيد سقا، الخصائص المورفومترية لحوض تصريف وادي لين بالمملكة العربية السعودية دراسة جيومورفولوجية باستخدام نظم المعلومات الجغرافية، مجلة جامعة الملك عبد العزيز، كلية الآداب والعلوم الإنسانية، ٢٠١١ ، ص ٢٠.
- ١١- خليفة عبد الحافظ درادكة، المياه السطحية وهيدرولوجيا المياه الجوفية، دار الحنين للنشر والتوزيع، الأردن، ٢٠٠٦ ، ص ١٨٤.
- ١٢-H.M. Raghunath, Hydrology, P١٥٤.
- ١٣- ا.اي كارسون وآخرون، المدخل لدراسة العمليات النهرية (دراسات في الجيومورفولوجيا)، ترجمة: وفيق حسن الششاب، مطبعة جامعة بغداد، ١٩٧٩ ، ص ١٣٧-١٣٨.
- ١٤- السيد محمد عبد الرحيم الدالي، مصدر سابق، ص ٢٩٥.
- ١٥-PNUD-OPE Resources en eau dans les pays de l'Afrique du Nord. Project RAB/٨٠/١١. Guide maghrébin pour l'execution des etudes ET des travaux de retinue's collinaires. OPU, Alger: ١٩٨٧. p١٧٧.
- ١٦- محمد فضيل بوروبية، طه عثمان الفراء، تقدير تدفق النروة لسيول روافد وادي حنيفة الداخلية على غرب مدينة الرياض في المملكة العربية السعودية، ندوة الكوارث وسلامة المباني في الدول العربية، الرياض، ٢٠١١ ، ص ٦-٧.
- ١٧- محمد سعيد البارودي، وآخرون، مصدر سابق، ص ٧٩٧.
- ١٨- حنان بنت عبد اللطيف بن حسن الغيلان، دور نظم المعلومات الجغرافية في دراسة الخصائص المورفومترية لحوض وادي لين، (رسالة ماجستير) غير منشورة، جامعة الملك سعود، كلية الآداب، ٢٠٠٨ ، ٢٠٠٨.
- ١٩- احمد عبد الستار العذاري، حسين كاظم عبد الحسين، خطر السيول في وادي مركة سور في أربيل العراقية (دراسة هيدرومورفومترية تطبيقية)، مجلة الفنون والأدب وعلوم الإنسانيات والاجتماع، العدد (٨)، ٢٠١٦ ، ص ٣٠.
- المصادر:
- ١- ا.اي كارسون، وآخرون، المدخل لدراسة العمليات النهرية (دراسات في الجيومورفولوجيا)، ترجمة: وفيق حسن الششاب، مطبعة جامعة بغداد، ١٩٧٩ .

- ٢- البارودي، محمد سعيد، وأخرون، استخدام نظم المعلومات الجغرافية في تقدير أحجام السيول ومدى خطورتها عند المجرى الأدنى لوادي نعمان جنوب مدينة مكة المكرمة من خلال تطبيق نموذج سنابير واعتماد نموذج الارتفاعات الرقية ASTER، المؤتمر الجغرافي الدولي (الجغرافيا والتغيرات العالمية المعاصرة)، كلية الآداب والعلوم الإنسانية، جامعة طيبة، مكة المكرمة، ٢٠١٢.
- ٣- البارودي، محمد سعيد، تقدير أحجام السيول ومخاطرها عند المجرى الأدنى لوادي عرنة جنوب شرق مدينة مكة المكرمة باستخدام نظم المعلومات الجغرافية، الجمعية الجغرافية المصرية، العدد ٤٨، ٢٠١٢.
- ٤- بورية، محمد بن فضيل، دراسة هيدرومorfومترية لتقدير حجم السيول في حوض عنود بالمملكة السعودية مركز دراسات الخليج. الجزيرة العربية، قسم الجغرافية، جامعة الكويت، ٢٠٠٧.
- ٥- بوربة، محمد فضيل، طه عثمان الفراء، تقدير تدفق الذرة لسيول روافد وادي حنيفة الداخلة على غرب مدينة الرياض في المملكة العربية السعودية، ندوة الكوارث وسلامة المباني في الدول العربية، الرياض، ٢٠١١.
- ٦- الخطابي، عمار رمضان علي، التحليل السحيقي وبيئة ترسيب تكوين سنجار في طية دربند باسرة، منطقة السليمانية شمال العراق، مجلة تكريت للعلوم الصرفية، العدد (١٧)، ٢٠١٢.
- ٧- الدالي، السيد محمد عبد الرحيم، السهل الساحلي للبحر الأحمر من الحدود المصرية السودانية شمالاً حتى رأس أبو شجرة جنوباً (دراسة في الجيومورفولوجيا التطبيقية)، اطروحة دكتوراه، جامعة القاهرة، مصر، ٢٠١٢.
- ٨- درادكة، خليفة عبد الحافظ، المياه السطحية وهيدرولوجيا المياه الجوفية، دار الحنين للنشر والتوزيع، الأردن، ٢٠٠٦.
- ٩- السامرائي، قصي عبد المجيد، المناخ والأقاليم المناخية، دار البيازوري العلمية للنشر والتوزيع، الطبعة الأولى، عمان، ٢٠٠٨.
- ١٠- السامرائي، قصي عبد المجيد، مناخ العراق الماضي والحاضر، مجلة الآداب، العدد ٥٠، ٢٠٠٠.
- ١١- سقا، عبد الحفيظ محمد سعيد، الخصائص المورفومترية لحوض تصريف وادي لبن بالمملكة العربية السعودية دراسة جيومورفولوجية باستخدام نظم المعلومات الجغرافية، مجلة جامعة الملك عبد العزيز، كلية الآداب والعلوم الإنسانية، ٢٠١١.
- ١٢- سباب، عبد الله، وأخرون، جيولوجيا العراق، جامعة الموصل، مطبعة الموصل، ١٩٨٢.
- ١٣- صوالحة، حكم عبد الجبار مصطفى، الجيولوجيا العامة، الطبعة الأولى، دار الميسرة للنشر، عمان، ٢٠٠٥.
- ١٤- العمري، فاروق صنع الله، علي صادق، جيولوجيا شمال العراق، جامعة الموصل، ١٩٧٧.
- ١٥- علي، ظاهر خليل، دراسة الخصائص الفيزيائية والجيوتكتونية لبعض وحدات صخور تكاوين البلاسبي والفتحة وانجانة في منطقة شقلاء/ شمال العراق، رسالة ماجستير (غير منشورة)، كلية العلوم، جامعة بغداد، ٢٠٠٦.
- ١٦- عبد الحسين، فراس مظفر، دراسة هيدروجيولوجية لحوض مخمور، رسالة ماجستير (غير منشورة)، كلية العلوم، جامعة بغداد، ٢٠٠٢.
- ١٧- عبد الرحمن، عبد الرحمن، وجاك ماردينبي، علم حركة المياه الهيدرولوجيا، منشورات جامعة حلب، كلية الهندسة المدنية، مديرية الكتب والمطبوعات الجامعية ٢٠٠٣.
- ١٨- العذاري، احمد عبد الستار، حسين كاظم عبد الحسين، خطر السيول في وادي مركة سور في أربيل العراقية (دراسة هيدرومorfومترية تطبيقية)، مجلة الفنون والأدب وعلوم الإنسانيات والاجتماع، العدد (٨)، ٢٠١٦.
- ١٩- الغيلان، حنان بنت عبد اللطيف بن حسن، دور نظم المعلومات الجغرافية في دراسة الخصائص المورفومترية لحوض وادي لبن، (رسالة ماجستير) غير منشورة، جامعة الملك سعود، كلية الآداب، ٢٠٠٨.

-
- ٢٠-الفيتوري، علي محمد، الخصائص المورفومترية والهيدرولوجية لحوض وادي القطارة -دراسة مقارنة ما بين استخدام الطرق التقليدية وبرمجيات نظم المعلومات الجغرافية، المجلة الليبية العالمية، العدد ٣٣، ٢٠١٥.
- ٢١-وزارة الصناعة والمعادن، المنشأ العامة للمسح الجيولوجي والتعمين، خارطة العراق البنوية، ١٩٩٦، قياس ١:١٠٠٠٠٠.
- ٢٢-خلدون عباس معله، تحديث: فاروجان خاجيك سيساكيان، صفاء الدين فخرى فؤاد، تقرير عن جيولوجية لوحة السليمانية، هيأه المسح الجيولوجي العراقي، قسم الجيولوجيا، شعبة المسح الجيولوجي، لوحة آي أن ٣٨ . ٣، جي أم ١٠، مقياس ١:٢٥٠٠٠، بغداد، الطبعة الثانية، ٢٠١٤.
- ٢٣-H.M. Raghunath, Hydrology, Principles, Analysis and Design, John Wiley, New York, ٢٠٠٧.
- ٢٤-Jaton .J .F .Hydrologic Resurface (1^{ere} parties) Emolument surface ET Debits cruse. Ecolab Polytechnique, Instate de Genie, ١٩٨٠.
- ٢٥ -PNUD-OPE Resources en eau dans les pays de l'Afrique du Nord. Project RAB/٨٠/٠١١. Guide maghrébin pour l'execution des etudes ET des travaux de retinues collinaires. OPU, Alger: ١٩٨٧.
- ٢٦-Thornthwate, C.W., Climate of North America a carding to a new classification, the geographical review, Vol.٢١, ١٩٣١.